

## Original Article

# A novel technique for local mesh refinement in the finite element method based on the alternative shape functions

Nasrin Kheirkhah Barzaki and Alireza Sadeghirad\*

Department of Civil and Environmental Engineering, Amirkabir University of Technology

**Abstract:** Unlike triangular/tetrahedral elements used in the finite element method for two/three-dimensional problems, local refinement of meshes composed of quadrilateral/hexahedral elements while maintaining the compatibility is challenging, and often results in severe distortion of the elements. A well-known and widely used approach to address this issue is the local mesh refinement based on transitional elements with hanging nodes. The key point in this method is enforcing the displacement continuity at the transitional element boundaries in the presence of hanging nodes. Transitional elements introduced in the literature employ various formulations depending on their placement within the mesh, and are also constrained by a maximum number of hanging nodes along the element boundary. Therefore, their implementation for a general case is quite complicated. This paper presents a novel transitional element based on alternative shape functions, which offers a unified formulation for different placements of transitional elements in the mesh, applicable to any number of hanging nodes. Additionally, an analytical proof is provided to demonstrate the continuity and partition of unity properties in the proposed method, used in local mesh refinement. Finally, numerical examples in two and three dimensions are simulated to compare the accuracy and convergence of the proposed method against the existing methods in the literature.

**Keywords:** Finite element method, Local mesh refinement, Hanging nodes, Transition elements, Alternative shape functions.

Received: Apr. 14, 2024; Revised: Jun. 07, 2024; Accepted: Jun. 18, 2024; Published Online: March. 11, 2025.

\* Corresponding Author: [sadeghirad@aut.ac.ir](mailto:sadeghirad@aut.ac.ir)

How to Cite: Kheirkhah Barzaki Nasrin and Sadeghirad. Alireza, A novel technique for local mesh refinement in the finite element method based on the alternative shape functions, Journal of Computational Methods in Engineering; 2025, 43(2), 1-28; doi.org/10.47176/jcme.43.2.1031.



Copyright © 2025 Isfahan University of Technology, Published by IUT press. This work is licensed under a Creative Commons Attribution-Noncommercial 4.0 International license (<https://creativecommons.org/licenses/by-nc/4.0/>). Non-commercial uses of the work are permitted, provided the original work is properly cited.



## مقاله پژوهشی

# روش جدید برای ریزکردن محلی شبکه در روش اجزای محدود به کمک توابع شکل جایگزین

نسرین خیرخواه بزرگی و علیرضا صادقی راد\*

دانشکده مهندسی عمران و محیط زیست، دانشگاه صنعتی امیرکبیر

**چکیده** – برخلاف شبکه‌های متشکل از المان‌های مثلثی / چهاروجهی در روش اجزای محدود دو/سه بعدی، ریزکردن محلی شبکه‌های متشکل از المان‌های چهارضلعی / شش وجهی با حفظ سازگاری<sup>۱</sup> دشوار بوده و معمولاً منجر به اعوجاج شدید المان‌ها می‌گردد. روش شناخته شده و پرکاربرد برای برطرف کردن این مشکل، ریزکردن محلی شبکه بر اساس المان‌های انتقالی<sup>۲</sup> و گره‌های معلق<sup>۳</sup> است. نکته‌ی کلیدی در این روش، اعمال پیوستگی<sup>۴</sup> تغییر مکان در مرز المان‌های انتقالی در حضور گره‌های معلق است. المان‌های انتقالی معرفی شده در ادبیات فنی با توجه به نحوه قرارگیری در شبکه رابطه‌بندی‌های مختلف داشته و نیز محدود به یک تعداد مشخص از گره‌های معلق بر مرز المان می‌باشند. بنابراین پیاده‌سازی آن‌ها برای یک حالت بسیار عمومی پیچیده است. در این مقاله یک المان انتقالی جدید بر اساس توابع شکل جایگزین معرفی شده است که با یک رابطه‌بندی واحد حالات مختلف قرارگیری المان انتقالی در شبکه و نیز تعداد دلخواه گره‌های معلق را پشتیبانی می‌کند. هم چنین اثبات تحلیلی به منظور نشان دادن حفظ کامل شرایط پیوستگی و تقسیم جزء واحد<sup>۵</sup> در روش پیشنهادی هنگام ریزکردن محلی شبکه به کمک توابع شکل جایگزین ارائه شده است. در نهایت با حل مثال‌های عددی دو و سه‌بعدی مقایسه بین دقیق و همگرایی روش پیشنهادی و روش‌های موجود در پیشینه فنی صورت گرفته است.

**واژه‌های کلیدی:** روش اجزای محدود، ریزشدگی محلی شبکه، گره‌های معلق، المان انتقالی، توابع شکل جایگزین.

دریافت مقاله: ۱۴۰۳/۰۱/۲۶، بازنگری: ۱۴۰۳/۰۳/۱۸، پذیرش: ۱۴۰۳/۰۳/۲۹، اولین انتشار: ۱۴۰۳/۱۲/۲۱

\*: نویسنده مسئول، رایانامه: [sadeghirad@aut.ac.ir](mailto:sadeghirad@aut.ac.ir)

حق انتشار این متن‌نامه، متعلق به دانشگاه صنعتی اصفهان است. ©

این مقاله تحت گواهی زیر منتشر شده و هر نوع استفاده غیرتجاری از آن مشروط بر استناد حیج به مقاله و با رعایت شرایط مندرج در آدرس



زیر مجاز است:

## فهرست علائم

گره فعال	$N_a$	مجموعه پایه	H
گره غیرفعال	$N_{if}$	ضرایب چندجمله‌ای پایه	$\alpha$
تابع شکلی پیشنهادی	$\varphi$	تابع دلخواه	$\Psi$
تغییر مکان	$u$	مختصات طبیعی	$\xi$
تنش کاشی	$\sigma$	مختصات طبیعی	$\eta$
خطای جابجایی	$E_u$	تابع شکلی	$\chi$
خطای انرژی	$E_e$	دامنه المان	$\Omega$
		دامنه ذره	$\Omega_p$

معلق» در مسأله ظاهر می‌گردد. بر خلاف شبکه‌های متشكل از المان‌های مثلثی/ چهاروجهی در روش اجزای محدود، ریز کردن محلی شبکه‌های متشكل از المان‌های چهارضلعی/ شش وجهی با حفظ سازگاری دشوار بوده و معمولاً منجر به اعوجاج شدید المان‌ها می‌گردد. بنابراین ریز کردن محلی همراه با گره‌های معلق روشنی پرکاربرد در تحلیل اجزای محدود در مسائل با نواحی بحرانی محلی است [۶]. واضح است با وجود این گره‌های معلق، به دلیل ناسازگاری توابع شکل استاندارد اجزای محدود روی مرز المان‌ها پیوستگی تغییر مکان نقض شده و همگرایی روش دچار مشکل می‌گردد. بنابراین تکنیک‌های مختلفی برای غلبه بر این موضوع پیشنهاد شده است. یک روش، مقید کردن درجه آزادی گره‌های معلق در یک ضلع المان به گره‌های گوشی آن ضلع قرار گرفته بوده که روش تخمین مقید<sup>۹</sup> نامیده می‌شود [۱۱-۷]. تکنیک بعدی اعمال شرایط انطباقی به کمک روش‌های پنالتی ضرایب لاگرانژ و نیچه است [۱۲ و ۱۳]. در نهایت روش دیگر، تولید توابع شکل جدید در المان‌های دارای گره‌های معلق و معروفی درجه آزادی مستقل در این گره‌ها است، که به این تکنیک، روش المان انتقالی<sup>۱۰</sup> می‌گویند [۱۴-۲۰]. المان‌های انتقالی در کار گوپتا و همکاران [۱۴] در مسائل دو بعدی و پس از آن توسط مک دیل [۱۷]

### ۱. مقدمه

بسیاری از مدل‌سازی‌ها در مسائل مهندسی، با پدیده‌هایی مانند گرادیان بالای تنش، تکینگی در نواحی کوچکی از دامنه مسأله مواجه هستند. ایده‌ی مناسب برای افزایش دقت روش اجزای محدود در این مسائل، ریز کردن شبکه در این نواحی بحرانی است. خیلی زود پس از ابداع روش اجزای محدود در دهه ۱۹۶۰ میلادی، روش‌های اجزای محدود انطباقی<sup>۶</sup> برای ریز کردن شبکه معرفی شدند [۱].

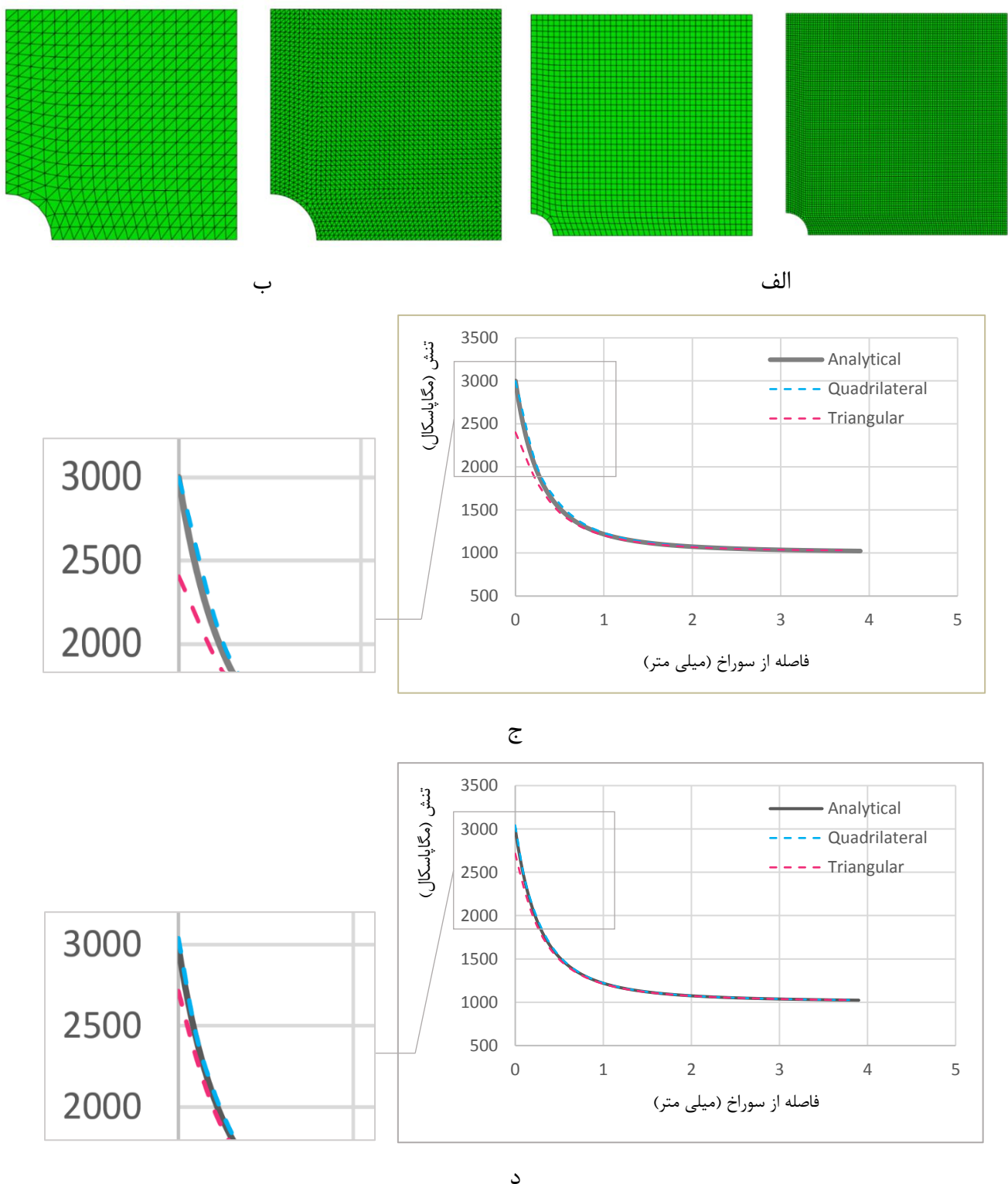
ریز کردن شبکه به دو صورت کلی و محلی قابل انجام است. در روش ریز کردن کلی شبکه، شبکه در تمام دامنه مسأله دوباره ساخته شده و ریز می‌گردد. از آنجا که ریز کردن کلی شبکه منجر به ایجاد هزینه محاسباتی بسیار بالا و غیرضروری می‌گردد بنابراین تغییر ابعاد شبکه به شکل محلی پیشنهاد شده است. ریز کردن محلی شبکه به دو صورت انطباقی<sup>۷</sup> [۲-۵] و محلی همراه با گره‌های معلق<sup>۸</sup> امکان‌پذیر است. در حالت انطباقی ابعاد شبکه به صورت تدریجی تغییر کرده و تمام گره‌ها المان‌های مجاور روی یکدیگر منطبق خواهند بود و سازگاری<sup>۸</sup> شبکه حفظ می‌گردد. اما در حالت محلی همراه با گره‌های معلق، تنها بخشی از شبکه ریز شده و گره‌هایی روی اضلاع المان‌های همسایه ریزنده، به نام «گره‌های

شکل جایگزین *CPDI* برای شبکه‌های شامل المان‌های چهارضلعی/شش‌وجهی توسعه یافته است، قابل ذکر است که الگوریتم پیشنهادی قابل تعمیم به المان‌های مثلثی/چهاروجهی نیز است. اما با توجه به اینکه (۱) ریز کردن محلی شبکه‌های متتشکل از المان‌های مثلثی/چهاروجهی ساده است و (۲) المان‌های چهارضلعی/شش‌وجهی در تحلیل‌های اجزای محدود دقت بالاتری نسبت به المان‌های مثلثی/چهاروجهی دارند، مقاله حاضر به توسعه المان انتقالی پیشنهادی برای شبکه‌های شامل المان‌های مثلثی/چهاروجهی نمی‌پردازد. در ادامه برتری المان‌های چهارضلعی/شش‌وجهی در قالب یک مثال بررسی می‌شود. در حل مسائل اجزای محدود، المان‌های چهارضلعی/شش‌وجهی به دلیل توانایی درونیابی خطی توزیع تنش، در تجزیه و تحلیل‌هایی که به دقت بالای محاسبات تنش نیاز دارند، نسبت به المان‌های مثلثی/چهاروجهی برتری دارند. این ویژگی به خصوص در مواردی با گردایان‌ها و تغییرات تنش قابل توجه، به مزیت تبدیل می‌شود. این المان‌ها هم‌چنین در شبیه‌سازی‌های مکانیک سازه از جمله بارگذاری‌های پیچشی یا خمشی که در آن‌ها توزیع خطی تنش با رفتار واقعی مواد همانگی بیشتری دارد، بسیار کارآمد محسوب می‌شوند. از نظر زمان محاسباتی نیز، شبکه‌های شامل المان‌های چهارضلعی/شش‌وجهی معمولاً به تعداد کمتری المان نیاز داشته و منجر به کاهش هزینه‌ی محاسباتی مرتبط با حل سیستم معادلات می‌گردد. جهت مقایسه دقت این دو نوع المان، مثال صفحه بی‌نهایت سوراخ‌دار تحت بارگذاری کششی برای هر دو نوع المان چهارضلعی و مثلثی حل شده است. جزئیات این مثال در بخش ۱.۵ ارائه شده است. شکل ۱-الف و ۱-ب شبکه‌های مورد استفاده در تحلیل اجزای محدود شامل المان‌های چهارضلعی و مثلثی را نشان می‌دهد. شکل ۱-ج و ۱-د، نمودارهای تنش در فواصل مختلف از سوراخ را در دو مدل با گره‌های متفاوت نشان می‌دهند. همان‌گونه که مشاهده می‌شود دقت تحلیل اجزای محدود با المان‌های چهارضلعی بالاتر از دقت نتایج حاصل از المان‌های مثلثی است. با

و مورتون [۱۸] در مسائل سه بعدی پیاده شده است. در این روش با معرفی توابع شکل در گره‌های معلق با درجه آزادی مستقل و اصلاح توابع شکل استاندارد در گره‌های گوشی مربوطه، پیوستگی تغییر مکان در مرز المان‌های انتقالی تضمین می‌گردد. یکی از محدودیت‌های این توابع، تعریف آن‌ها با شرط نسبت یک به دو در المان‌های ریز به درشت است که در [۱۹] با تعریف توابع جدید برای تعداد دلخواه گره‌ها به حل این موضوع پرداخته شده است. با وجود این که این روش در مناطق با ریزشدگی محدب با دقت خوبی پاسخ می‌دهد اما معمولاً در مناطق مقرر (جایی که یک المان بیش از ۲ گره معلق داشته باشد) منجر به تولید توابع شکل تولید در حل مسئله اختلال به وجود می‌آید. همچنین توابع شکل تولید شده در این روش برای هر حالت باید به صورت جداگانه به دست آمده و باعث افزایش محاسبات می‌گردد. مقاله‌ی دیگر پژوهشن لینگ و همکارانش [۲۰] است که با روش جداسازی شبکه، المان مرزی را به سه بخش المان ریاضی، المان فیزیکی و المان انتقالی تقسیم کرده و با نگاشت دوگانه توابع شکل یکپارچه‌ای برای آن‌ها تولید می‌کند.

در این مقاله با کاربرد توابع شکل جایگزین در روش *CPDI*<sup>۱۱</sup> [۲۱] و نحوی جدیدی برای انتخاب المان‌های انتقالی سعی شده تا مشکل عدم پیوستگی در مرز المان‌های مجاور برطرف گردد. در روش پیشنهادی، در المان‌های روی مرز بین شبکه‌های ریز و منجر به کاهش هزینه‌ی محاسباتی مرتبط با حل سیستم معادلات می‌گردد. در نظر گرفتن درجه آزادی برای گره‌های معلق، توابع درشت بدون درنظر گرفتن درجه آزادی برای گره‌های معلق، توابع شکل بر حسب گره‌های گوشی المان والد<sup>۱۲</sup> (المان درشتی که تقسیم‌بندی شده) به دست می‌آید که همواره مقادیر مثبتی تولید کرده و شرایط پیوستگی، تمامیت<sup>۱۳</sup> و تقسیم جزء واحد را که در همگرایی مسئله تاثیرگذار هستند، برقرار می‌کنند. برخلاف روش المان انتقالی گوپتا، در روش پیشنهادی محدودیتی در نسبت المان‌های ریز به درشت وجود نخواهد داشت و مقادیر توابع شکل همواره مثبت خواهند بود.

اگرچه در مقاله حاضر المان انتقالی پیشنهادی بر اساس توابع



شکل ۱- مقایسه دقت دو نوع المان: (الف) المان چهارضلعی، (ب) المان مثلثی، (ج) تعداد ۳۹۸ گره، (د) تعداد ۲۳۵۴ گره

فرض کنید تابع  $(y, \Psi)$  از ترکیب چندجمله‌ای‌های پایه داخل مجموعه  $H$  با ضرایب  $\alpha$  به صورت زیر تقریب زده می‌شود:

$$\Psi^h(x, y) = \sum_{j=1}^{N_H} H_j \alpha_j \quad (1)$$

مجموعه پایه  $H$  که تعداد عناصر آن  $N_H$  بسته به رتبه المان تعیین می‌گردد، به صورت استاندارد به فرم زیر تعریف می‌شود که در آن  $\eta$  و  $\eta^2$  مختصات محلی گره  $n$  در هر المان هستند:

$$H = [1 \ \eta \ \eta^2 \ \eta^3 \ \eta^4] \quad (2)$$

با به دست آوردن ضرایب مناسب  $\alpha$  و در نظر گرفتن رابطه‌ی (۱) و (۲) مقادیر توابع شکل استاندارد خطی برای یک المان چهار گره‌ای به صورت زیر خواهد بود:

$$\chi_i(x, y) = \frac{1}{4}(1 + \eta_i)(1 + \eta_i\eta) \quad i = 1, 2, 3, 4 \quad (3)$$

#### روش تخمین مقید

در قسمت قبل اشاره شد که هنگام تولید یک شبکه نامنظم گره‌های معلقی در مرز المان‌ها تولید می‌شود. یکی از روش‌های حل عدم ناپیوستگی در این اضلاع، مقید کردن گره معلق است. در این قسمت توضیح مختصری از این روش که در [۷] برای ریزشدگی ترکیبی  $h-p$  با مد نظر قرار دادن نسبت ۱:۲ هنگام تقسیم المان‌ها و در مقاله‌های بعدی برای تعداد دلخواه گره‌ی معلق روی هر ضلع اصلاح شده است [۴ و ۵] بیان می‌گردد. در واقع فرض اصلی در اینجا این است که تابع در این گره به صورت مستقل تعریف نشده است. یعنی، مقدار تابع در این گره وابسته به مقدار تابع در گره‌های اصلی واقع بر ضلعی از المان می‌باشد که این گره روی آن ضلع قرار گرفته است. در این روش مقدار تابع  $\Psi$  در نقطه‌ی  $c$  به صورت ترکیبی خطی از  $\Psi_a$  و  $\Psi_b$  خواهد بود (شکل ۲):

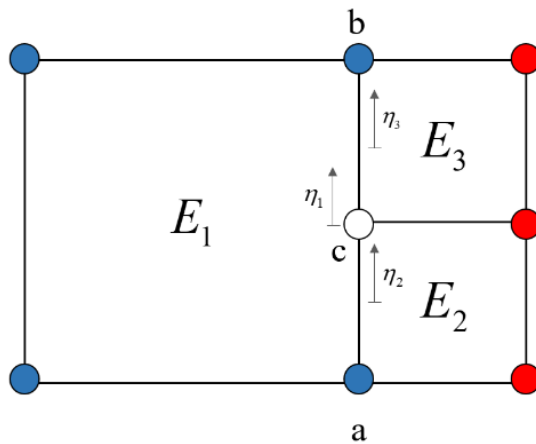
$$\Psi_c = \lambda_1 \Psi_a + \lambda_2 \Psi_b \quad (4)$$

توجه به اینکه در تحلیل‌های مورد مقایسه تعداد گره‌ها در شبکه با المان‌های چهارضلعی یکسان با تعداد گره‌ها در شبکه با المان‌های مثلثی است، هزینه محاسباتی تحلیل‌های اجزای محدود مشابه یکدیگر خواهد بود و می‌توان نتیجه گرفت که کاربرد المان‌های چهارضلعی با هزینه محاسباتی یکسان نتایج دقیق‌تری نسبت به کاربرد المان‌های مثلثی بدست می‌دهد.

در ادامه‌ی این مقاله خلاصه‌ای از روش‌های تخمین مقید و المان انتقالی و روابط ارائه شده برای آن‌ها در بخش دوم ارائه می‌گردد. پس از آن در بخش سوم توابع شکل جایگزین معرفی شده و ایده و نحوه به دست آوردن آن‌ها بیان می‌گردد. در ادامه بخش چهارم شامل روابط ریاضی و اثبات‌های تحلیلی جهت نشان دادن حفظ کامل شرایط پیوستگی و تقسیم جزء واحد در روش پیشنهادی است. بخش پنجم به حل مثال‌های عددی دو و سه بعدی به منظور مقایسه‌ای بین دقت و همگرایی روش پیشنهادی و روش المان انتقالی اختصاص یافته و نتایج مدل‌سازی‌ها گزارش می‌شوند. در نهایت در بخش ششم نتیجه‌گیری ارائه می‌شود.

## ۲. روش‌های تخمین مقید و المان انتقالی

در روش اجزای محدود جهت تقریب پاسخ یک مسئله، ابتدا دامنهٔ حل به المان‌های جداگانه با تعداد گره‌های مختلف ( $N$ ) وابسته به مرتبهٔ هر المان تقسیم می‌گردد. در حالتی که تمامی این المان‌ها هماندازه و هم مرتبه باشند شبکه تولید شده منظم<sup>۱۴</sup> و در غیر این صورت نامنظم<sup>۱۵</sup> خواهد بود. هنگام ریزکردن هندسی شبکه<sup>۱۶</sup> (بدون تغییر مرتبهٔ المان‌ها) به صورت محلی شبکه‌های نامنظم و در بی آن گره‌های معلق در محل تماس المان‌های ریز و درشت به وجود می‌آیند که سبب اختلال در پیوستگی توابع شکل رول روی مرز المان‌ها می‌گردد. همانطور که اشاره شد، رویکردهای مختلفی برای حل این مسئله وجود دارد که می‌توان به روش‌های تخمین مقید و المان انتقالی اشاره کرد.



شکل ۲ - تعریف تابع در گره معلق در روش تخمین مقید

$\chi^{E^4}$  به شکل زیر بازنویسی می‌شوند:

$$\begin{aligned} \chi_1^{E^2} &= -\eta_1 & \chi_2^{E^2} &= 1 + \eta_1 \\ \chi_1^{E^3} &= 1 - \eta_1 & \chi_2^{E^3} &= \eta_1 \end{aligned} \quad (V)$$

بنابراین ارتباط بین توابع شکل با ضریب  $\theta$  نشان داده می‌شود:

$$\chi^{E^1} = \theta^b \cdot \chi^{E^2}, \quad \theta^b = \begin{bmatrix} 1 & \frac{1}{2} \\ 0 & \frac{1}{2} \end{bmatrix}, \quad \chi^{E^1} = \theta^t \cdot \chi^{E^3}$$

$$\theta^t = \begin{bmatrix} \frac{1}{2} & 0 \\ \frac{1}{2} & 1 \end{bmatrix} \quad (A)$$

حال با توجه به شرط پیوستگی  $\Psi_{E^1}^h = \Psi_{E^3}^h$  و  $\Psi_{E^1}^h = \Psi_{E^2}^h$  نتیجه می‌شود:

$$\begin{bmatrix} \Psi_a \\ \Psi_c \end{bmatrix} = (\theta^b)^T \begin{bmatrix} \Psi_a \\ \Psi_b \end{bmatrix} \rightarrow \Psi_c = \frac{1}{2}(\Psi_a + \Psi_b) \quad (9)$$

$$\begin{bmatrix} \Psi_c \\ \Psi_b \end{bmatrix} = (\theta^t)^T \begin{bmatrix} \Psi_a \\ \Psi_b \end{bmatrix} \rightarrow \Psi_c = \frac{1}{2}(\Psi_a + \Psi_b)$$

این رابطه بیان می‌کند که در حالت خطی و استفاده از توابع شکل رتبه یک، مقدار تابع در نقطه  $c$  برابر میانگین توابع در دو راس المان اصلی خواهد بود. در رتبه‌های بالاتر نیز مشابه همین رویکرد است با این تفاوت که ابعاد ماتریس  $\theta$  افزایش یافته و با حل دستگاه

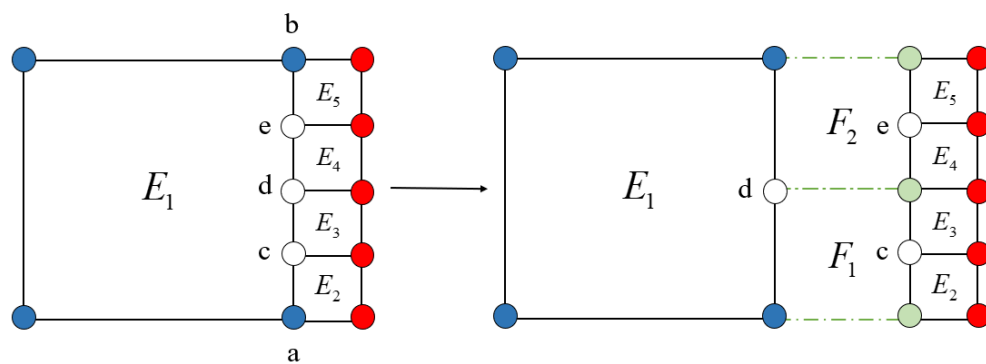
بنابراین هدف، یافتن ضرایب مناسب  $\lambda$  با شرط حفظ پیوستگی روی مرز المان‌ها است. برای تخمین تابع  $\Psi$  روی ضلع  $ab$ ، با در نظر گرفتن توابع پایه خطی در یک بعد بردار  $H$  تنها دارای دو مولفه‌ی یک و  $\eta$  خواهد بود. بنابراین توابع شکل استاندارد روی این وجه در هریک از المان‌های یک و دو و سه به صورت زیر تعریف خواهند شد:

$$\begin{aligned} \chi_1^{E^1} &= \frac{1}{2}(1 - \eta_1), & \chi_2^{E^1} &= \frac{1}{2}(1 + \eta_1) \\ \chi_1^{E^2} &= \frac{1}{2}(1 - \eta_2), & \chi_2^{E^2} &= \frac{1}{2}(1 + \eta_2) \\ \chi_1^{E^3} &= \frac{1}{2}(1 - \eta_3), & \chi_2^{E^3} &= \frac{1}{2}(1 + \eta_3) \end{aligned} \quad (5)$$

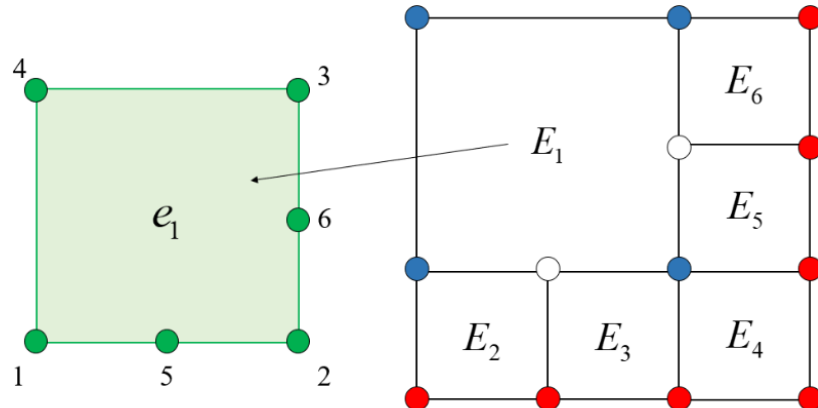
بنابراین مقدار تابع  $\Psi$ ، به شکل زیر در هر یک از المان‌های روی وجه  $ab$  محاسبه می‌شود:

$$\begin{aligned} \Psi_{E^1}^h &= \chi_1^{E^1}(\eta_1) \cdot \Psi_a + \chi_2^{E^1}(\eta_1) \cdot \Psi_b \\ \Psi_{E^2}^h &= \chi_1^{E^2}(\eta_2) \cdot \Psi_a + \chi_2^{E^2}(\eta_2) \cdot \Psi_c \\ \Psi_{E^3}^h &= \chi_1^{E^3}(\eta_3) \cdot \Psi_c + \chi_2^{E^3}(\eta_3) \cdot \Psi_b \end{aligned} \quad (6)$$

با تبدیل مختصات محلی المان‌های کوچک  $E_2$  و  $E_4$  به مختصات المان اصلی  $E_1$  رابطه‌ای بین توابع شکل آن‌ها پیدا می‌شود. با توجه به اینکه  $\chi^{E^2} = 2\eta_1 + 1$  و  $\eta_2 = 2\eta_1 + 1$  توابع شکل  $\chi^{E^2}$  و



شکل ۳ - محاسبه مقادیر تابع در گره‌های معلق به صورت سلسله مراتبی



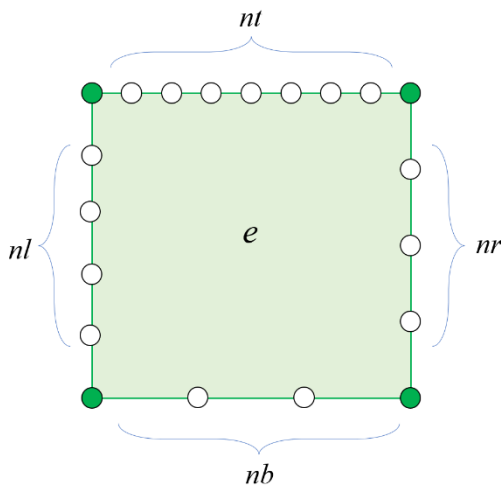
شکل ۴ - المان شش گرهای <sup>۶</sup> در روش المان انتقالی با چند جمله‌ای های پایه‌ی جایگزین

روش المان انتقالی

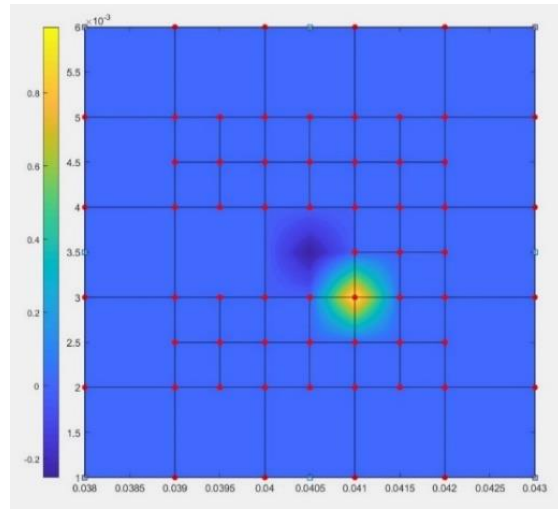
این روش که اولین بار توسط Gupta و همکاران [۱۴] ارائه شده است، با تعریف درجه آزادی مستقل برای گره‌های معلق و تولید المان‌های انتقالی با توابع شکل متفاوت توانسته پیوستگی را در مرز المان‌های ریز و درشت حفظ کند. ابتدا با رعایت نسبت  $1:2$  به معنی وجود تنها یک گرهی معلق در مرز هر دو المان، به کمک اضافه کردن چند عنصر به مجموعه چند جمله‌ای‌های پایه توابع شکل تعریف شدند. به طور مثال در حالت شکل ۴ یک المان شش گره‌ای، با چند جمله‌ای‌های پایه، زیر حاگ:  $b$ : المان استاندارد

شود:

معادلاتی مانند رابطه‌ی ۸ مقادیر تابع در گره‌های معلق تعیین می‌شود. حال برای حالتی با تعداد دلخواهی از گره‌های معلق روی مرز دو المان با در نظر گرفتن المان‌های فرضی بین المان‌های کوچک و اصلی مقادیر تابع در گره‌های معلق به صورت سلسله مراتبی<sup>۱۷</sup> تعیین می‌گردد. این رویکرد در شکل ۳ نشان داده شده است. ابتدا مقدار  $\Psi$  در گره‌ی  $d$  و پس از آن به کمک دو المان  $F1$  و  $F2$  در گره‌های  $c$  و  $e$  محاسبه می‌گردد. با اعمال این روش، با افزایش تعداد نقاط معلق میزان محاسبات زیاد شده و منجر به هزئینه‌ی زمانی، بالایم خواهد شد.



شکل ۶ - تعمیم روش المان انتقالی



شکل ۵ - منفی شدن توابع شکل در روش المان انتقالی

یکی از مشکلات این توابع شکل، منفی شدن آنها با افزایش تعداد گره‌های معلق روی آن است (شکل ۵) که این موضوع ممکن است روی همگرایی پاسخ‌ها تاثیر گذاشته و یا بسته به نوع مسئله موجب تخمین مقادیری شود که معنای فیزیکی ندارند.

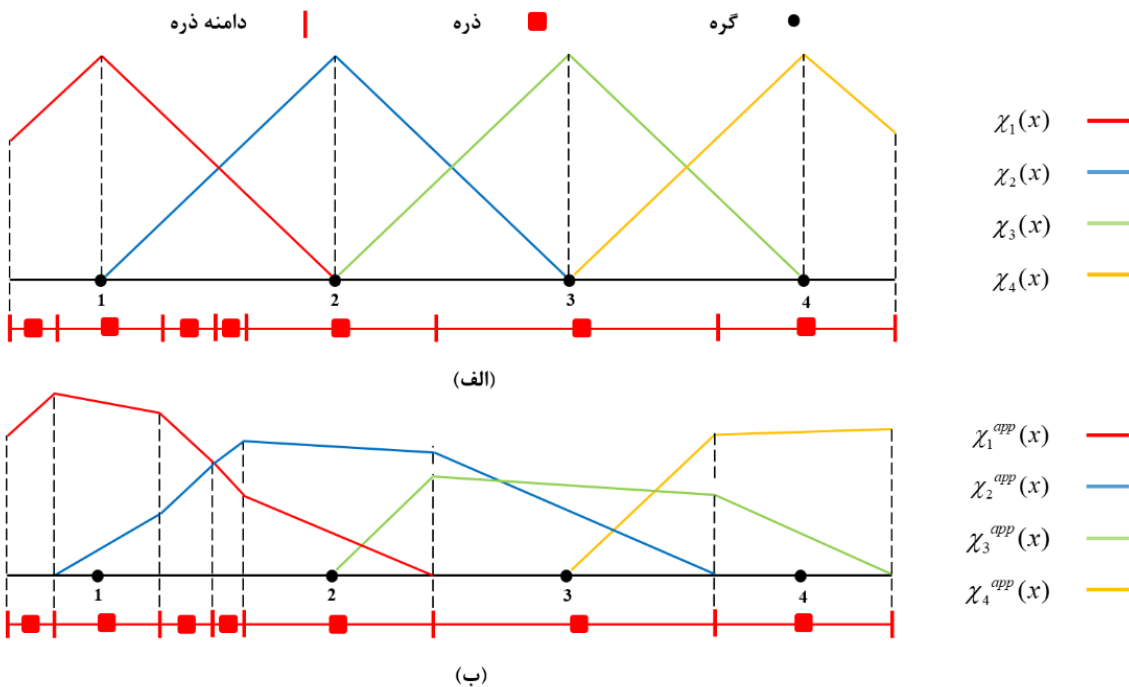
محدودیت دیگر این روش، اجبار نسبت ۱:۲ در هنگام ریزکردن المان‌هاست که جهت رفع آن در [۱۹] پیشنهاد شد تا مانند روال قبل با اضافه کردن چند جمله‌ای‌های پایه بیشتر توابع شکل محاسبه گردند. با این تفاوت که این مقادیر پایه با توجه به مختصات گره‌های معلق و وجهی از المان که روی آن قرار دارند تعیین می‌گردد. جمله‌ی  $(-\xi)(\eta - \eta_{nr})$  برای وجه راست،  $\eta - \eta_{nl}$  برای وجه چپ،  $(\eta - 1)(\xi - \xi_{nt})$  برای وجه بالا و  $(\eta + 1)(\xi - \xi_{nb})$  برای وجه پایین به مجموعه  $H$  اضافه خواهد شد و به ترتیب قبل توابع شکل مربوط به هر گره محاسبه می‌شود. واضح است در این روش برای هر تعداد گره باید بردار  $H$  و  $\bar{H}$  به صورت جداگانه نوشتene شده و توابع شکل مربوط محاسبه گرددن یکی از چالش‌های اساسی این روش است. به عنوان مثال در شکل ۶ فقط برای یک نوع المان، باید به بردار  $H$  تعداد ۱۶ جمله اضافه شود. بنابراین این روش، برای تعداد بالایی از گره‌های معلق

$$H = [1 \quad \eta \quad \xi \eta \quad |\xi|(\eta - 1) \quad |\eta|(\xi + 1)] \quad (10)$$

گره‌ی پنجم و ششم به ترتیب روی اضلاع بالا و چپ قرار گرفته‌اند بنابراین دو جمله‌ی آخر این بردار به صورتی تعیین شده تا مقدار تابع مربوط به این گره‌ها در اضلاع پایین و راست که بدون گره معلق هستند صفر شود. توابع شکل به صورت زیر محاسبه می‌شوند:

$$\begin{aligned} \bar{\chi}_1 &= \frac{1}{4}(1 - \xi)(1 - \eta) - \frac{1}{4}(1 - |\xi|)(1 - \eta) \\ \bar{\chi}_2 &= \frac{1}{4}(1 + \xi)(1 - \eta) - \frac{1}{4}(1 - |\xi|)(1 - \eta) \\ &\quad - \frac{1}{4}(1 + \xi)(1 - |\eta|) \\ \bar{\chi}_3 &= \frac{1}{4}(1 + \xi)(1 + \eta) - \frac{1}{4}(1 + \xi)(1 - |\eta|) \\ \bar{\chi}_4 &= \frac{1}{4}(1 - \xi)(1 + \eta) \\ \bar{\chi}_5 &= \frac{1}{2}(1 - |\xi|)(1 - \eta) \\ \bar{\chi}_6 &= \frac{1}{2}(1 + \xi)(1 - |\eta|) \end{aligned} \quad (11)$$

با توجه به اینکه گره‌ی چهارم با هیچکدام از گره‌های معلق در ارتباط نیست بنابراین مقدار استاندارد آن دست‌نخورده باقی می‌ماند.

شکل ۷- توابع شکل جایگزین در روش *CPDI* : (الف) توابع شکل استاندارد، (ب) توابع *CPDI*

صورت دایره‌های سفید توخالی و  $\Omega_p$  با خطوط | نمایش داده شده‌اند). در صورت استفاده از توابع شکل استاندارد  $FEM^{\circ}$  ( $\chi_i$ ) در شبکه پس زمینه، واضح است که شیب این توابع روی مرز المان‌ها تغییر کرده و مشتق آن ناپیوسته است، که در محاسبه تنش ایجاد مشکل می‌کند.

با تغییر مقدار توابع روی این مرزها می‌توان این گسستگی را از بین برداشت. بنابراین در روش *CPDI* توابع شکل خود به مثابه یک تابع یا میدان (مثل جایچایی، سرعت، دما) در نظر گرفته شده و برای یافتن آن‌ها در یک سری نقاط خاص، لازم است تا توابع شکل استاندارد توسط توابع شکل دیگری درونیابی شوند. این توابع جدید که با  $\chi_i^{app}$  نشان داده شده‌اند به کمک درونیابی از توابع روی المان  $\Omega_p$  با توابع شکل  $Q_\alpha^p$  تولید می‌شوند.

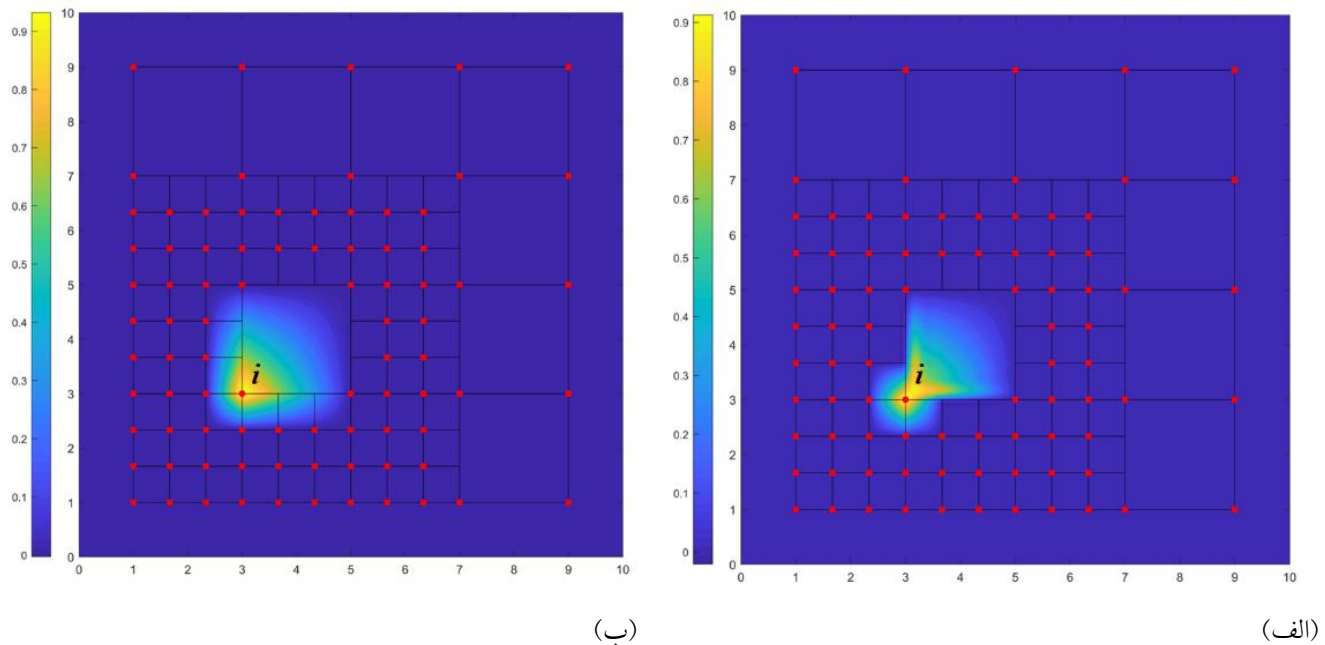
$$\chi_i^{app}(x) = \sum_{\alpha=1}^4 Q_\alpha^p(x) \chi_i(x_\alpha^p) \quad \text{on } \Omega_p \quad (12)$$

در روش *CPDI*، توابع شکل جایگزین به منظور رفع مشکل

کم هزینه نیست و افزایش ابعاد این دو ماتریس با مقادیر مختلف برای هر المان، منجر به هزینه‌ی محاسباتی بالای خواهد شد. هم چنین مسئله‌ی منفی شدن توابع شکل همچنان پابرجا است.

### ۳. روش پیشنهادی بر اساس توابع پایه جایگزین *CPDI*

*CPDI* یا درونیابی بر اساس دامنه ذرات سازگار با تغییرشکل<sup>۱۸</sup> و<sup>۲۲</sup> تکنیکی در روش نقاط مادی  $MPM^{19}$  [۲۳-۲۶] به منظور بالابردن دقیق و پایداری عددی است. روش *MPM* یک روش ترکیبی لاگرانژی-اویلری است که در آن نمونه به صورت جداگانه به ذراتی تقسیم‌بندی شده و انتگرال‌گیری روی شبکه پس زمینه صورت می‌گیرد. بنابراین المان‌های ذرات و شبکه پس زمینه مستقل از یکدیگر هستند. در شکل ۷ حالت یک بعدی این نوع مسئله با دو نوع دامنه المان  $\Omega$  و  $\Omega_p$  مشاهده می‌شود (مرز المان‌های  $\Omega$  به



شکل ۸-الف) توابع شکل FEM با ناپیوستگی و ب) توابع شکل پیشنهادی دارای پیوستگی روی مرز ریز و درشت مربوط به گره  $i$

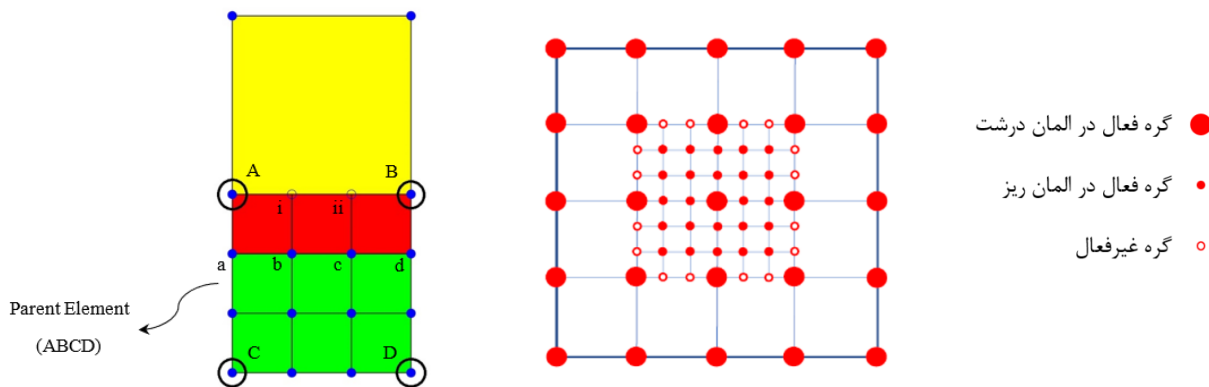
- گره های غیر فعال ( $N_{if}$ ): گره هایی از المان کوچکتر هستند که در مرز بین المان ریز و درشت قرار گرفته و دارای توابع شکل مستقل در مسئله نیستند بلکه از این گرهها برای تعریف توابع شکل گره های گوشه کمک گرفته می شود. در شکل ۹ نودهای فعال و غیرفعال به ترتیب با دایره های توپر و توخالی مشخص شده اند.
- رابطه ای که در اینجا برای توابع شکل CPDI در گره های فعال تعریف می شود به صورت زیر است:

$$\varphi_i(\mathbf{x}) = \sum_{\alpha \in N_{if}} \chi_\alpha(\mathbf{x}) \chi'_i(x_\alpha) + \chi_i(\mathbf{x}) \quad , i \in N_a \quad (13)$$

در این رابطه  $\alpha$  نشان دهنده ی گره های غیرفعال است، بنابراین در المان های ساده با کلیه گره های فعال بخش اول معادله حذف و تابع شکلی آنها همان توابع مرسوم FEM خواهد بود. اما در المان های دارای حداقل یک گره غیرفعال که المان انتقالی نامیده می شوند،

ناپیوستگی تنش در مرز المان ها زمانی که ذرات حمل کننده تاریخچه تنش و کرنش در یک تحلیل تغییر شکل های بزرگ از مرز المان ها عبور می کنند، بکار می روند. در مقاله حاضر پیشنهاد می گردد که این توابع شکل جایگزین برای هدفی کاملاً متفاوت، یعنی ازین بردن ناپیوستگی تغییر مکان در المان های انتقالی در تحلیل اجزای محدود بکار گرفته شوند. در روش FEM به هنگام تقسیم بندی و ریز کردن محلی شبکه، توابع شکل استاندارد در مرز بین شبکه ریز و درشت چهار ناپیوستگی می شوند (شکل ۸). بنابراین برای حل این مشکل، در این مقاله به کمک ایده روش CPDI توابع شکل جدیدی روی المان های انتقالی، تولید می شوند. برای این منظور ابتدا کلیه ی گره های روی شبکه به دو گروه تقسیم بندی می شوند:

- گره های فعال ( $N_a$ ): گره هایی هستند که در گوش های المان ها قرار گرفته و توابع شکل روی آنها تعریف می گردد.



شکل ۱۰- المان های انتقالی در روش پیشنهادی

شکل ۹- نمایش گره های فعال و غیرفعال روی شبکه ریز شده

در شکل ۱۲ توابع شکل در تمامی نودهای فعال در یک ناحیه تقسیم‌بندی نشان داده شده‌اند.

#### ۴. خواص توابع شکل پیشنهادی

به طور کلی در حل مسائل اجزای محدود، به جهت تضمین دقیقی و پایداری در تخمین پاسخ‌ها ضروری است تا توابع شکل ویژگی‌های مشخصی همچون دلتای کرونیکر، تقسیم جزء واحد، تمامیت و پیوستگی را ارضاء کنند. در ادامه به بررسی هر کدام از این ویژگی‌ها در توابع جدید پیشنهادی پرداخته می‌شود.

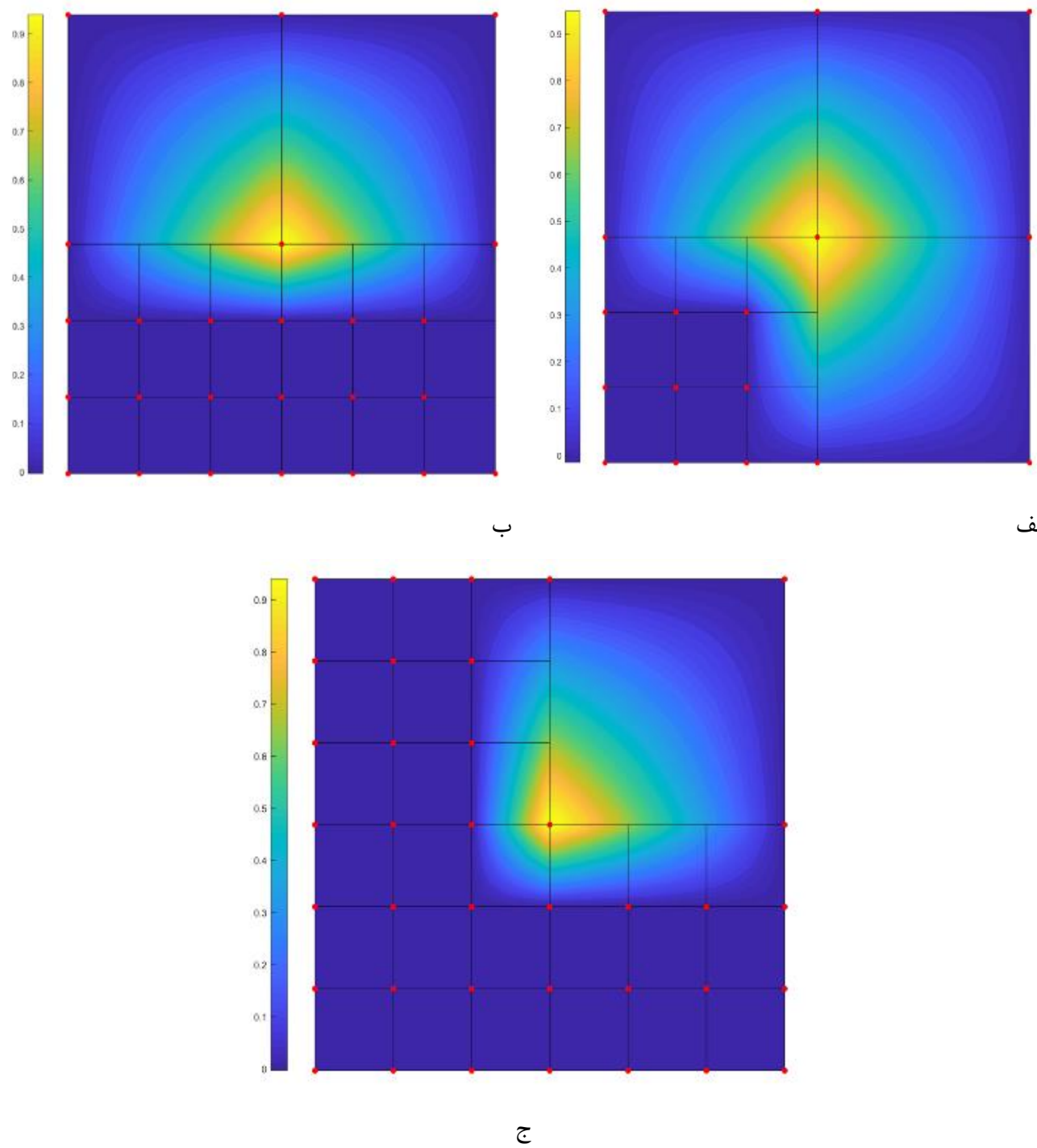
- **خاصیت دلتای کرونیکر:** طبق این ویژگی مقدار تابع شکلی گره  $i$  در تمام نودهای غیر از گره  $i$  برابر صفر و در خود گره برابر یک است. با این ویژگی مقادیر درونیابی شده در هر گره دقیقاً برابر با مقدار میدان در آن نقطه است.

$$\varphi_i(x_k) = \begin{cases} 1 & k = i \\ 0 & k \neq i \end{cases} \quad (14)$$

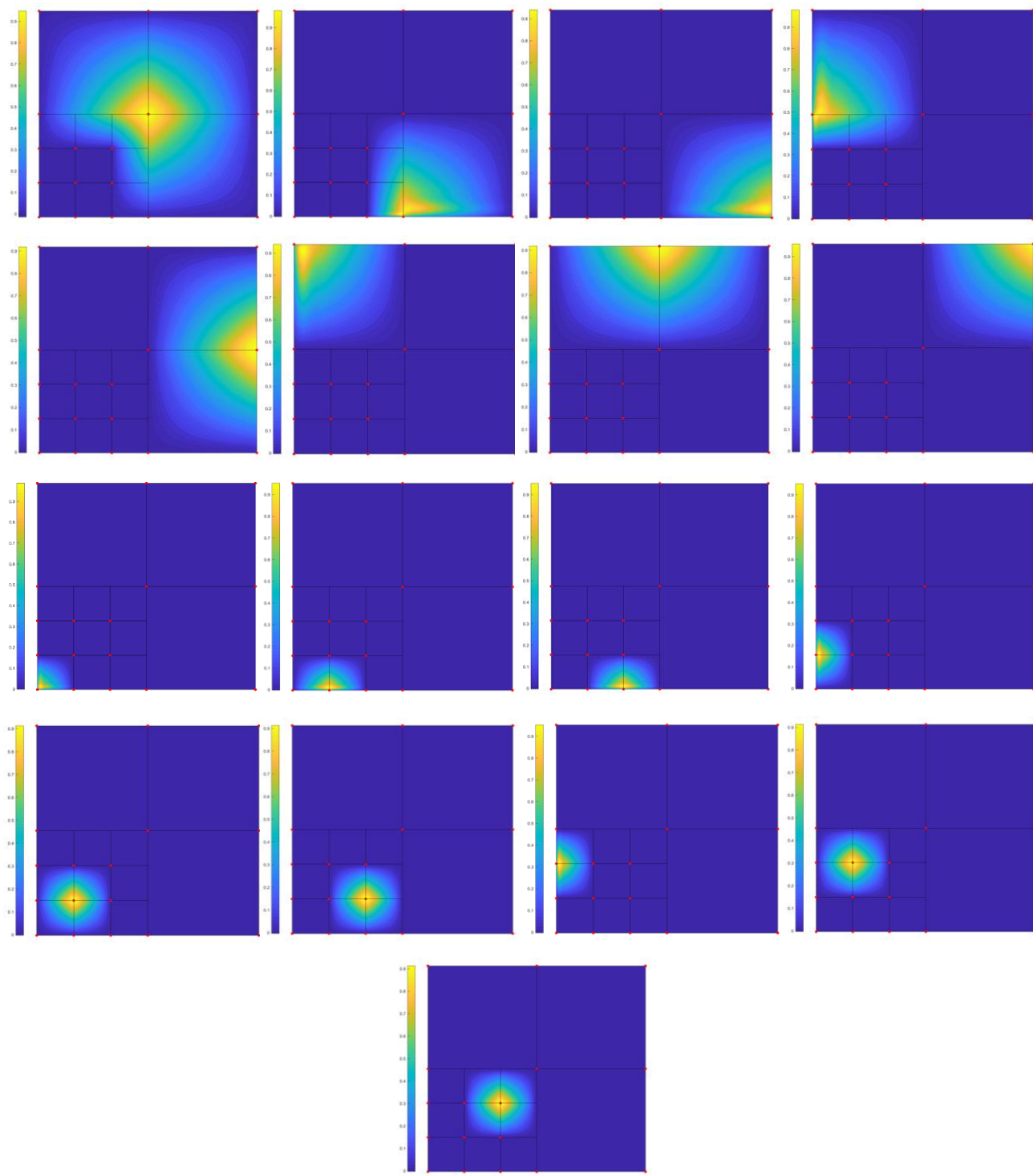
طبق رابطه ۱۴ از آنجایی که  $\alpha$  نشان‌دهنده‌ی گره‌های غیرفعال در المان کوچک است، تابع شکل آن  $(x_i)^\alpha$  در گره‌های فعال برابر

تابع شکلی در واقع ترکیبی از توابع مرسوم در المان‌های کوچک و المان بزرگ‌تر یا اصطلاحاً والد است. بنابراین بخش اول معادله ۱۳ نیز وارد محاسبات می‌گردد که در آن  $(x)^\alpha$  مقدار تابع شکلی گره‌های غیرفعال در مختصات محلی المان کوچک،  $x_\alpha$  مختصات محلی گره‌ی غیرفعال در المان *Parent* و  $(x_\alpha)'_i$  مقدار تابع شکلی گره‌ی فعال در گره‌ی غیرفعال است. همچنین  $(x)_i$  مقدار تابع استاندارد گره‌ی فعال در مختصات محلی المان کوچک است. به طور مثال در شکل ۱۰ که المان‌های انتقالی با رنگ قرمز در آن نشان داده شده است، مطابق رابطه ۱۳، در گره‌های فعال  $a$ ,  $b$  و  $c$  که با المان *Parent* مشترک نیستند، مقدار  $(x_\alpha)'_i$  برابر صفر بوده بنابراین بخش اول معادله حذف شده و مقدار تابع شکلی همان  $(x)_i$  خواهد بود. اما در گره‌های  $A$  و  $B$  (چون گره‌های غیرفعال روی ضلع  $AB$  قرار دارند مقدار تابع شکلی در نقاط  $C$  و  $D$  برابر صفر است)، تابع شکل استاندارد المان والد در گره‌های غیرفعال المان کوچکتر درونیابی شده و تابع  $(x)_i$  جایگزین تابع استاندارد می‌گردد.

در شکل ۱۱، کانتورهای دوبعدی تابع شکل پیشنهادی در المان‌های مجاور مرز شبکه ریز و درشت برای سه حالت مختلف نشان داده شده است.



شکل ۱۱ - کاتورهای دوبعدی توابع شکل پیشنهادی در مرز شبکه ریز و درشت در سه حالت مختلف



شکل ۱۲- توابع شکل پیشنهادی در در تمامی نودهای فعال

پاسخ واقعی  $u$  یکتابع خطی باشد، سری عددی هیچگاه نمی تواند پاسخ دقیقی از این مسئله ارائه دهد. در توابع شکل FEM لازم است که تابع درونیابی حداقل درجه یک باشند. با توجه به اینکه توابع پیشنهادی نیز توابع ایزوپارامتریک هستند، مقادیر میدان و مختصات مسئله با یک نوع تابع شکلی تخمین زده می شوند، بنابراین ثابت می شود:

$$x = \sum_{i \in N_a} \varphi_i x_i \quad (20)$$

$$\begin{aligned} u(x) &= \sum_{i \in N_a} \varphi_i \cdot u_i = \sum_{i \in N_a} \varphi_i \cdot (a_0 + a_1 x_i) = a_0 \sum_{i \in N_a} \varphi_i \\ &+ a_1 \sum_{i \in N_a} \varphi_i x_i = a_0 \times 1 + a_1 x = a_0 + a_1 x \end{aligned} \quad (21)$$

دقت شود درحالته که مسئله دو بعدی است،  $x$  به صورت بردار درنظر گرفته می شود که مولفه های آن  $(X, Y)$  می باشند.

- خاصیت پیوستگی:** این ویژگی اشاره به همواربودن تابع تخمین یا تابع وزنی به میزان مورد نیاز در مسئله است. درجه هموار بودن تابع وابسته به مرتبه مشتق ظاهرشده در فرم ضعیف معادله دیفرانسیل است. بنابراین در معادلات الاستیستیه که تنها مشتق مرتبه اول جایجایی در معادلات فرم ضعیف وجود دارد، لازم است که تابع حداقل از مرتبه  $C^0$  باشند.

با تخمین تابع به صورت خطی  $u(x) = a_0 + a_1 x$  شرط  $C^0$  در محدوده المان ارضا می شود، اما لازم است تا پیوستگی میدان در مرز المانها (مانند خطوط سبز رنگ در شکل ۱۳) نیز ثابت شود تا اطمینان حاصل گردد که شرط  $C^0$  در کل دامنه برقرار خواهد بود. در توابع با پیوستگی  $C^n$  لازم است تا مشتق درجه  $n$ ام روی مرز دو المان برابر بوده و رابطه زیر برقرار باشد:

صفر خواهد بود و تنها بخش دوم معادله که همان توابع استاندارد هستند، در رابطه بندی باقی می ماند بنابراین:

$$i \in N_a \rightarrow i \neq \alpha \rightarrow \chi_\alpha(x_i) = 0 \quad (15)$$

$$\sum_{\alpha \in N_{if}} \chi_\alpha(x_i) \chi_i(x_\alpha) + \chi_i(x_i) = 0 + \chi_i(x_i) = 1 \quad (16)$$

$$\begin{aligned} k &= i \neq \alpha \\ \sum_{\alpha \in N_{if}} \chi_\alpha(x_{i'}) \chi_i(x_\alpha) + \chi_i(x_{i'}) &= 0 + \chi_i(x_{i'}) = 0 \end{aligned} \quad (17)$$

$$k \neq i, \alpha$$

به این ترتیب خاصیت دلتای کرونکر برای توابع شکل پیشنهادی اثبات می گردد.

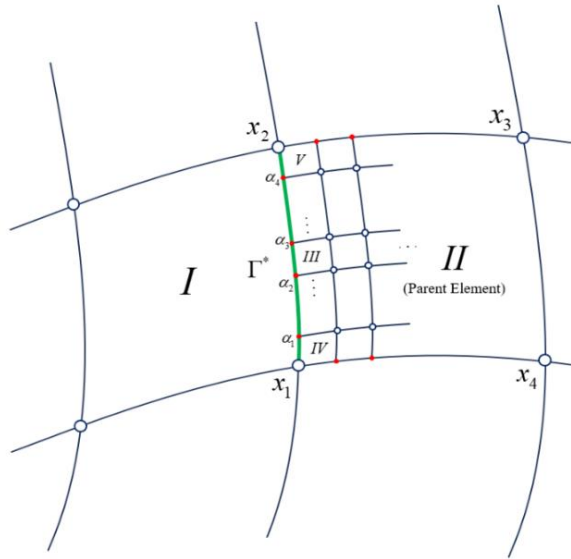
- تقسیم جزء واحد :** طبق این خاصیت، مجموع مقدار توابع شکل تمامی المانها در هر نقطه از دامنه برابر یک است. به عبارت دیگر:

$$\sum_{i \in N_a} \varphi_i(x_k) = 1 \quad (18)$$

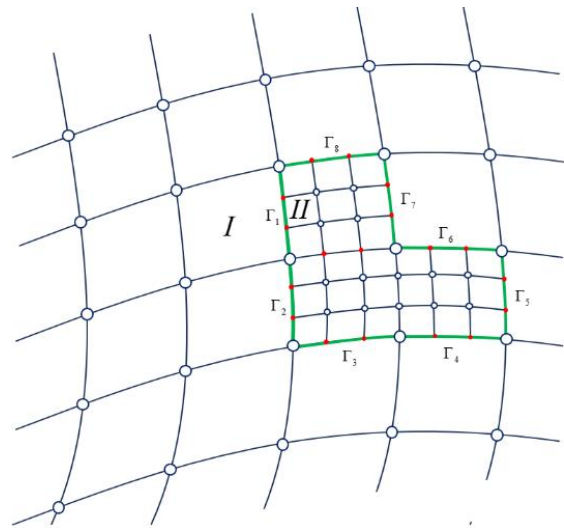
در گره های فعال غیرمرزی که توابع شکل آنها FEM استاندارد است این قید به صورت خودکار برقرار است. بنابراین در حالت کلی از جمع بستن توابع  $\varphi_i(x_k)$  روی کل گره های فعال رابطه زیر حاصل می شود:

$$\begin{aligned} \sum_{i \in N_a} \varphi_i(x_k) &= \sum_{i \in N_{ac}} \sum_{\alpha \in N_{if}} \chi_\alpha(x_k) \chi'_i(x_\alpha) + \sum_{i \in N_{af}} \chi_i(x_k) \\ &= \sum_{\alpha \in N_{if}} [\chi_\alpha(x_k) \sum_{i \in N_{ac}} \chi'_i(x_\alpha)] + \sum_{i \in N_{af}} \chi_i(x_k) \\ &= \sum_{\alpha \in N_{if}} \chi_\alpha(x_k) \times 1 + \sum_{i \in N_{af}} \chi_i(x_k) = \sum_{i \in N_f} \chi_i(x_k) = 1 \end{aligned} \quad (19)$$

- خاصیت تمامیت:** این ویژگی بیانگر توانایی یک سری عددی در تخمین توابع با درجه دلخواه است. به عنوان مثال اگر تابعی مانند  $u$  با یک سری چندجمله ای که دارای ترم خطی نبوده تخمین زده شود، در صورتی که



شکل ۱۴ - پیوستگی  $C^0$  بر مرز  $\Gamma^*$  بین المان‌های I و III



شکل ۱۳ - خاصیت پیوستگی در توابع شکل پیشنهادی

$$\varphi_1^I(x) \Big|_{x \in \Gamma^*} = \frac{1}{2}(1 - \eta^I) \quad (24)$$

همچنین به علت هم پارامتر بودن توابع مختصات  $x$  به صورت زیر نوشته شده و مقدار  $\eta^I$  را که مختصات طبیعی در المان I است، بر حسب  $x$  بیان می‌گردد.

$$x = \sum_{i \in N_a} \varphi_i(x) x_i = \varphi_1 x_1 + \varphi_2 x_2 = \quad (25)$$

$$\frac{1}{2}(1 - \eta^I)x_1 + \frac{1}{2}(1 + \eta^I)x_2$$

$$\eta^I = \frac{2x - x_1 - x_2}{x_2 - x_1} \quad (26)$$

بنابراین مقدار توابع شکل بر حسب  $x$  برابرند با:

$$\varphi_1 = \frac{x_2 - x}{x_2 - x_1}, \quad \varphi_2 = \frac{x - x_1}{x_2 - x_1} \quad (27)$$

در ادامه تابع شکلی المان III که توسط توابع CPDI به صورت زیر تعریف می‌شود:

$$\varphi_1^{III}(x) \Big|_{x \in \Gamma^*} = \varphi_{\alpha_2}^{III}(x) \cdot \varphi_1^{II}(x_{\alpha_2}) + \varphi_{\alpha_3}^{III}(x) \cdot \varphi_1^{II}(x_{\alpha_3}) \quad (28)$$

مشابه المان I مقادیر  $\varphi$  به صورت تابعی از  $x$  نوشته می‌شود:

$$\frac{\partial^m(\varphi_i^I(x))}{\partial x^m} \Big|_{x \in \Gamma^*} = \frac{\partial^m(\varphi_i^{II}(x))}{\partial x^m} \Big|_{x \in \Gamma^*}, \quad m = 1, 2, \dots, n \quad (22)$$

بنابراین در توابع  $C^0$  کافی است تا مقدار خود توابع شکل در مرز المان‌ها برابر باشند. در ادامه پیوستگی توابع پیشنهادی در مرز مشترک المان درشت با دو نوع از المان‌های ریز میانی و گوشه بررسی می‌گردد. از آنجایی که روند محاسبات در هر دو گره یک و دو مشابه یکدیگر است، روابط تنها برای تابع گره یک با مختصات  $x_1$  بسط داده می‌شوند.

### الف) المان میانی

در این حالت برای پیوستگی  $C^0$  نیاز است تا رابطه‌ی زیر در مرز  $\Gamma^*$  که بین المان I و III قرار گرفته (شکل ۱۴)، برقرار باشد.

$$\varphi_1^I(x) \Big|_{x \in \Gamma^*} = \varphi_1^{III}(x) \Big|_{x \in \Gamma^*} \quad (23)$$

در این حالت مقدار تابع شکلی در المان I برابر است با:

$$\begin{aligned}
& \varphi_1^{III}(x) \Big|_{x \in \Gamma^*} = \frac{x - x_1}{x_{\alpha_1} - x_1} \times \frac{x_2 - x_{\alpha_1}}{x_2 - x_1} \\
& + \left(1 - \frac{x - x_1}{x_{\alpha_1} - x_1}\right) \\
& = 1 + \frac{x - x_1}{x_{\alpha_1} - x_1} \times \left(\frac{x_2 - x_{\alpha_1}}{x_2 - x_1} - 1\right) \\
& = 1 + \frac{x - x_1}{x_{\alpha_1} - x_1} \times \left(\frac{\cancel{x_2} - x_{\alpha_1} - \cancel{x_2} + x_1}{x_2 - x_1}\right) \\
& = 1 - \frac{x - x_1}{x_2 - x_1} = \boxed{\frac{x_2 - x}{x_2 - x_1}}
\end{aligned} \tag{۳۴}$$

در مرز المان  $IV$  و  $I$  نیز پیوستگی  $C0$  برقرار است. در سایر مرزهای المان‌های ریز دیگر و المان  $I$  و هم‌چنین مرزهای افقی با المان‌های بالایی و پایینی نیز پیوستگی توابع به صورت مشابه اثبات می‌گردد.

## ۵. مثال‌های عددی

در این بخش جهت بررسی دقیق و همگرایی پاسخ‌ها به کمک توابع شکل پیشنهادی و مقایسه آن با روش المان انتقالی، دو مثال عددی حل شده‌اند. مثال اول، صفحه‌ی بی‌نهایت دو بعدی با سوراخ دایره‌ای شکل که به کمک نرم افزار متلب [۲۳] مدل‌سازی شده و مثال دوم، مکعب دارای حفره کروی شکل که حل آن با نرم افزار متلب [۲۳] و شبکه اجزای محدود و تصاویر نهایی به کمک نرم افزار تکپلات [۲۴] صورت گرفته است. جزئیات بیشتر در بخش‌های بعدی ارائه می‌گردد.

### ۱-۵- مثال دو بعدی - صفحه‌ی بی‌نهایت با سوراخ دایره‌ای

در این مثال صفحه‌ای بی‌نهایت به اضلاع  $10 \times 10$  میلی‌متر با یک سوراخ دایره‌ای شکل به شعاع  $r_0 = 1$  در وسط آن تحت تنش تک محوری در راستای افقی قرار گرفته است. مدول الاستیسیته و ضریب پواسون ماده‌ی به کار رفته در این ورق به ترتیب برابر با

$$\varphi_{\alpha_2}^{III}(x) = \frac{x_{\alpha_3} - x}{x_{\alpha_3} - x_{\alpha_2}} \tag{۲۹}$$

$$, \quad \varphi_{\alpha_3}^{III}(x) = \frac{x - x_{\alpha_2}}{x_{\alpha_3} - x_{\alpha_2}} = 1 - \varphi_{\alpha_2}^{III}(x) \tag{۳۰}$$

$$\varphi_{\alpha_1}^{II}(x_{\alpha_2}) = \frac{x_2 - x_{\alpha_2}}{x_2 - x_1} \tag{۳۰}$$

$$, \quad \varphi_{\alpha_1}^{II}(x_{\alpha_3}) = \frac{x_2 - x_{\alpha_3}}{x_2 - x_1}$$

روابط ۲۹ و ۳۰ در رابطه ۲۸ جایگذاری می‌شوند:

$$\begin{aligned}
& \varphi_1^{III}(x) \Big|_{x \in \Gamma^*} = \frac{x_{\alpha_3} - x}{x_{\alpha_3} - x_{\alpha_2}} \times \frac{x_2 - x_{\alpha_2}}{x_2 - x_1} + \\
& \left(1 - \frac{x_{\alpha_3} - x}{x_{\alpha_3} - x_{\alpha_2}}\right) \times \frac{x_2 - x_{\alpha_3}}{x_2 - x_1} \\
& = \frac{x_2 - x_{\alpha_3}}{x_2 - x_1} + \frac{x_{\alpha_3} - x}{x_{\alpha_3} - x_{\alpha_2}} \times \\
& \left(\frac{x_2 - x_{\alpha_2}}{x_2 - x_1} - \frac{x_2 - x_{\alpha_3}}{x_2 - x_1}\right) \\
& = \frac{x_2 - x_{\alpha_3}}{x_2 - x_1} + \frac{x_{\alpha_3} - x}{x_{\alpha_3} - x_{\alpha_2}} \times \boxed{\frac{x_{\alpha_3} - x_{\alpha_2}}{x_2 - x_1}} \\
& = \frac{x_2 - x_{\alpha_3}}{x_2 - x_1} + \frac{x_{\alpha_3} - x}{x_2 - x_1} = \boxed{\frac{x_2 - x}{x_2 - x_1}}
\end{aligned} \tag{۳۱}$$

بنابراین توابع شکل در هر دو المان روی مرز برابر هستند.

### ب) المان گوشه

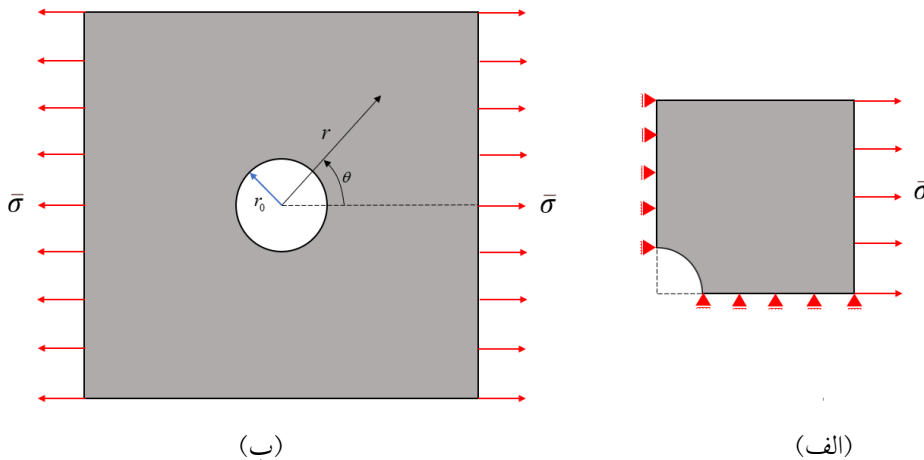
به طور مشابه، در المان گوشه  $IV$  نیز باید رابطه زیر برقرار باشد:

$$\varphi_1^I(x) \Big|_{x \in \Gamma^*} = \varphi_1^{IV}(x) \Big|_{x \in \Gamma^*} \tag{۳۲}$$

تابع شکلی المان  $IV$  نیز به صورت زیر تعریف می‌شود:

$$\varphi_1^{IV}(x) \Big|_{x \in \Gamma^*} = \varphi_{\alpha_1}^{IV}(x) \cdot \varphi_{\alpha_1}^{II}(x_{\alpha_1}) + \varphi_1^{IV}(x) \tag{۳۳}$$

به صورت مشابه با جاگذاری توابع شکل بر حسب مختصات  $x$  رابطه‌ی زیر برقرار می‌شود:



شکل ۱۵- ورق بی‌نهایت سو راخ دار: (الف) یک‌چهارم نمونه جهت مدل‌سازی به علت شرایط مرزی متقاضن ب) کل نمونه بارگذاری شده

$$u_\theta = \frac{\bar{\sigma}}{4\mu} \left\{ (1-\kappa) \frac{r_0^2}{r} - r - \frac{r_0^4}{r^3} \right\} \sin(2\theta) \quad (39)$$

که در آنها  $\kappa$  ثابت کولوسوف و  $\mu$  مدول برشی می‌باشد.

به علت وجود تقارن در این مسئله در جهت کاهش محاسبات، مطابق شکل ۱۵ یک‌چهارم ورق را جدا شده و با صفر کردن جابجایی در راستای افقی و عمودی به ترتیب برای مرزهای چپ و پایین نمونه، آن را مدل‌سازی می‌گردد. مسئله در سه حالت مورد بررسی قرار گرفته است. در حالت اول نمونه‌ها به صورت یکنواخت با طول المان‌های  $1, 0/5, 0/25$  و  $0/125$  میلی متر شبکه‌بندی شده‌اند و مقادیر خطای جابجایی و انرژی طبق روابط  $40$  و  $41$  محاسبه شده‌اند.

$$E_u = \left( \frac{\int_{\Omega} [u_n^{numerical}(x) - u_n^{exact}(x)]^2 d\Omega}{\int_{\Omega} u_n^{exact}(x) u_n^{exact}(x) d\Omega} \right)^{\frac{1}{2}} \quad (40)$$

$$E_e = \left( \frac{\int_{\Omega} e(u_n^{numerical} - u_n^{exact}) d\Omega}{\int_{\Omega} e(u_n^{exact}) d\Omega} \right)^{\frac{1}{2}} \quad (41)$$

۱۰۰۰۰ مگاپاسکال و  $0/3$  هستند. در [۲۵] با فرض تنفس مسطح حل تحلیلی برای مقادیر تنفس در هر نقطه به صورت زیر به دست آمده است:

$$\sigma_{11} = \bar{\sigma} \left\{ 1 - \frac{r_0^2}{r^2} \left[ \frac{3}{2} \cos(2\theta) + \cos(4\theta) \right] + \frac{3r_0^4}{2r^4} \cos(4\theta) \right\} \quad (35)$$

$$\sigma_{22} = -\bar{\sigma} \left\{ \frac{r_0^2}{r^2} \left[ \frac{1}{2} \cos(2\theta) - \cos(4\theta) \right] + \frac{3r_0^4}{2r^4} \cos(4\theta) \right\} \quad (36)$$

$$\sigma_{12} = -\bar{\sigma} \left\{ \frac{r_0^2}{r^2} \left[ \frac{1}{2} \sin(2\theta) + \sin(4\theta) \right] - \frac{3r_0^4}{2r^4} \sin(4\theta) \right\} \quad (37)$$

و مولفه‌های جابجایی به صورت زیر محاسبه می‌گردند:

$$u_r = \frac{\bar{\sigma}}{4\mu} \left\{ r \left[ \frac{\kappa-1}{2} + \cos(2\theta) \right] + \frac{r_0^2}{r} \left[ 1 + (1+\kappa) \cos(2\theta) \right] - \frac{r_0^4}{r^3} \cos(2\theta) \right\} \quad (38)$$

جدول ۱- مقادیر خطا در حالت شبکه بدون ریز شدگی محلی

اندازه مشخصه المان‌ها	تعداد المان‌ها	$\log(Eu)$	$\log(Ee)$
۱	۱۰۸	-۲/۴۵۴۷۹	-۱/۱۲۳۴۲
۰/۵	۴۳۲	-۲/۹۶۱۱۲	-۱/۳۴۳۳۱
۰/۲۵	۱۷۲۸	-۳/۴۸۵۱۴	-۱/۵۹۹۸۳
۰/۱۲۵	۶۹۱۲	-۳/۹۸۴۸۸	-۱/۸۸۲۷۳

جدول ۲- مقادیر خطا در حالت شبکه ریز شده با نسبت ۱:۲ بر اساس روش المان انتقالی

اندازه مشخصه المان‌ها در بخش شبکه درشت	اندازه مشخصه المان‌ها در بخش شبکه ریز شده	تعداد المان‌ها	$\log(Eu)$	$\log(Ee)$
۰/۵	۱	۱۵۰	-۲/۹۷۰۲	-۱/۳۴۷۱
۰/۲۵	۰/۵	۶۳۹	-۳/۴۸۶۷	-۱/۵۹۴۶
۰/۱۲۵	۰/۲۵	۲۶۶۲	-۳/۸۸۹۶	-۱/۸۲۹۸

جدول ۳- مقادیر خطا در حالت شبکه ریز شده با نسبت ۱:۲ بر اساس روش توابع شکل پیشنهادی

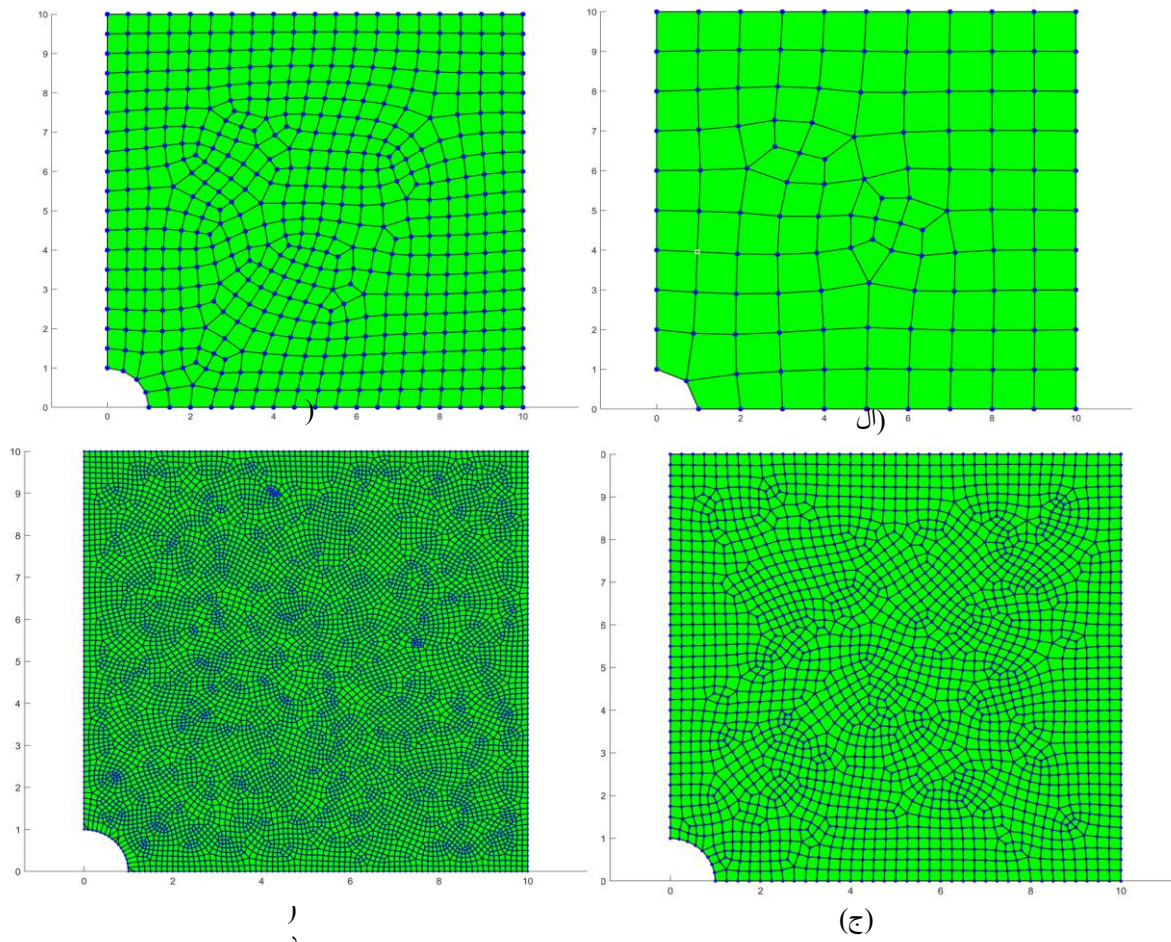
اندازه مشخصه المان‌ها در بخش شبکه درشت	اندازه مشخصه المان‌ها در بخش شبکه ریز شده	تعداد المان‌ها	$\log(Eu)$	$\log(Ee)$
۰/۵	۱	۱۵۰	-۲/۹۵۹۵	-۱/۳۴۵۴
۰/۲۵	۰/۵	۶۳۹	-۳/۴۸۴۴	-۱/۵۹۴۴
۰/۱۲۵	۰/۲۵	۲۶۶۲	-۳/۸۸۹	-۱/۸۲۹۷

دست آمده در هر حالت نمایش داده می‌شوند.

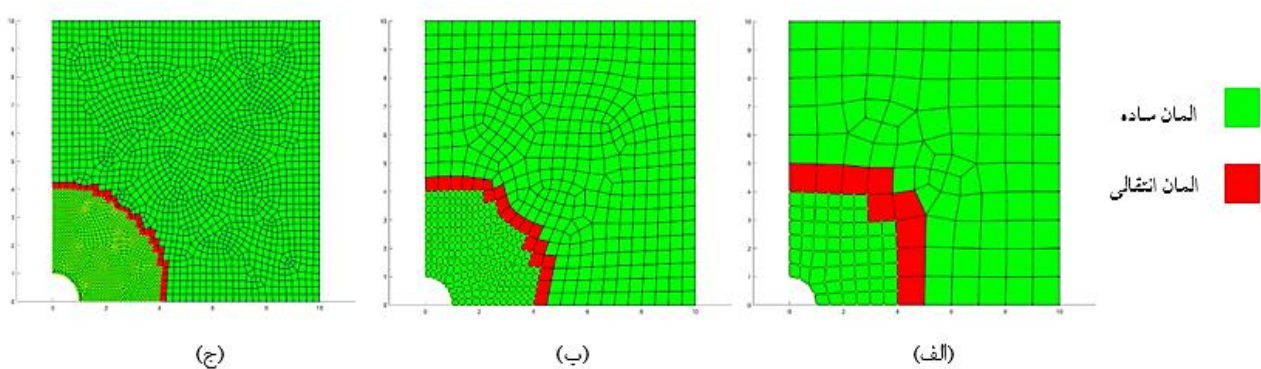
- الف) حالت شبکه بدون ریز شدگی (جدول ۱ و شکل ۱۶)
- ب) حالت شبکه محلی ریزشده با نسبت ۱:۲ (جدول ۲ و ۳، شکل ۱۷ و ۱۸)
- ج) حالت شبکه محلی ریزشده با نسبت‌های دلخواه (جدول ۴ و شکل ۱۹)

در شکل ۲۰ مقدار خطاهای جابجایی و انرژی در این مثال بر حسب تعداد المان‌های موجود در هر شبکه‌بندی ترسیم شده است. از این شکل مشخص است که در حالت کلی با افزایش تعداد المان‌ها خطأ کاهش یافته است. نیز نمودارهای حاصل از روش‌های

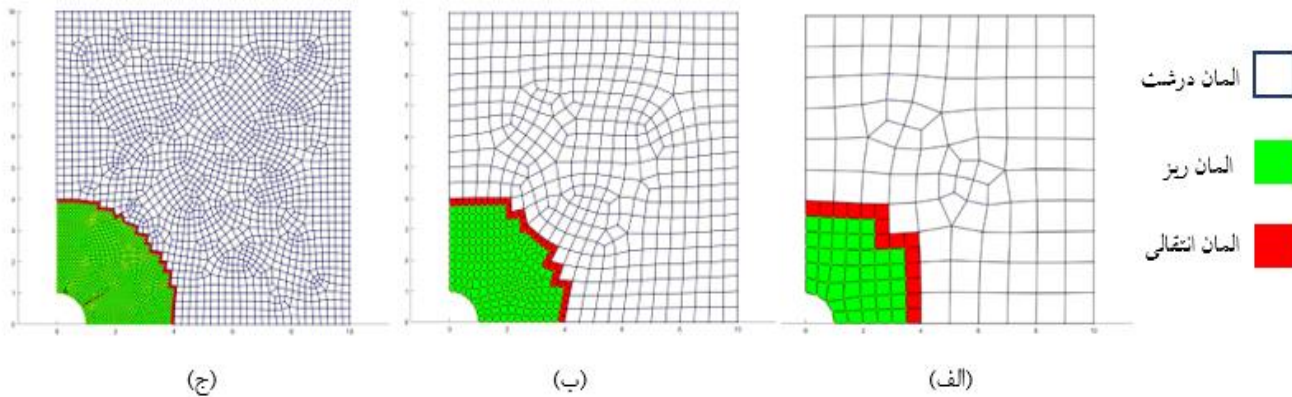
در حالت دوم، نمونه‌ها اطراف سوراخ و به صورت محلی و با نسبت ۱:۲ با اندازه المان‌های ۱، ۰/۵، ۰/۲۵ و ۰/۱۲۵ میلی متر تقسیم‌بندی شده و با کمک دو تابع شکلی المان انتقالی و پیشنهادی، مقادیر خطای جابجایی و انرژی مجدد محاسبه می‌گردند. در حالت سوم، مجدد شبکه‌بندی به صورت محلی اطراف سوراخ بوده با این تفاوت که بدون رعایت نسبت ۱:۲ در تقسیم‌بندی‌ها، اندازه‌ی المان درشت، ثابت و برابر با یک و المان‌های کوچک به ترتیب برابر ۰/۵، ۰/۲۵ و ۰/۱۲۵ میلی متر می‌باشند. در این حالت یکی از مزیت‌های توابع شکل پیشنهادی مشاهده می‌شود، چرا که توابع المان انتقالی با شرط نسبت ۱:۲ در المان ریز و درشت، تولید شده و قادر به تخمین مقادیر در این حالت نیستند. در ادامه نمودارها و مقادیر به



شکل ۱۶- شبکه‌بندی‌های متفاوت در حالت شبکه بدون ریزشدگی محلی : (الف) ۱ میلی‌متر، (ب) ۰/۵ میلی‌متر، (ج) ۰/۲۵ میلی‌متر، (د) ۰/۱۲۵ میلی‌متر



شکل ۱۷- شبکه‌بندی‌های متفاوت در حالت شبکه ریز شده با نسبت ۱:۲ بر اساس روش المان انتقالی: (الف) ۰/۵ - ۱ میلی‌متر، (ب) ۰/۲۵ - ۰/۵ میلی‌متر، (ج) ۰/۱۲۵ - ۰/۰۲۵ میلی‌متر



شکل ۱۸- شبکه‌بندی‌های متفاوت در حالت شبکه ریز شده با نسبت ۱:۲ بر اساس روش توابع شکل پیشنهادی: (الف) - ۰/۵ میلی‌متر، (ب) - ۰/۲۵ میلی‌متر، (ج) - ۰/۱۲۵ میلی‌متر

جدول ۴- مقادیر خطای دلخواه بر اساس روش توابع شکل پیشنهادی

المان انتقالی و روش توابع شکل پیشنهادی حالت نسبت ۱:۲ برای بخش درشت و ریز شبکه، تقریباً بر هم منطبق هستند. روش توابع شکل پیشنهادی دارای این خاصیت است که با یک الگوریتم واحد بدون نیاز به پیاده‌سازی کد جدید توابع شکل جدید را برای نسبت‌های مختلف اندازه شبکه ریز شده به اندازه شبکه درشت، تولید کند.	تعداد المان‌ها	اندازه مشخصه المان‌ها در بخش شبکه درشت	اندازه مشخصه المان‌ها در بخش شبکه ریز شده	$\log(Eu)$	$\log(Ee)$
۰/۵	۱	۱۵۰	-۲/۹۵۹۵	-۱/۳۴۵۴	
۰/۲۵	۱	۳۱۸	-۳/۴۰۹۸	-۱/۶۱۸۹	
۰/۱۲۵	۱	۹۹۰	-۳/۸۱۵۴۲	-۱/۷۹۶۷۹	

۱۰۰۰۰ مگاپاسکال و ۰.۳ هستند. مولفه‌های جابجایی و مقادیر تنش به صورت تحلیلی مطابق روابط زیر محاسبه می‌شوند [۲۶]:

$$u_x = \frac{r_0^3 \bar{\sigma}}{2\mu} \left[ -\frac{\lambda + 6\mu}{2(9\lambda + 14\mu)} \frac{x}{r^3} + \frac{\lambda + \mu}{9\lambda + 14\mu} \right] \quad (42)$$

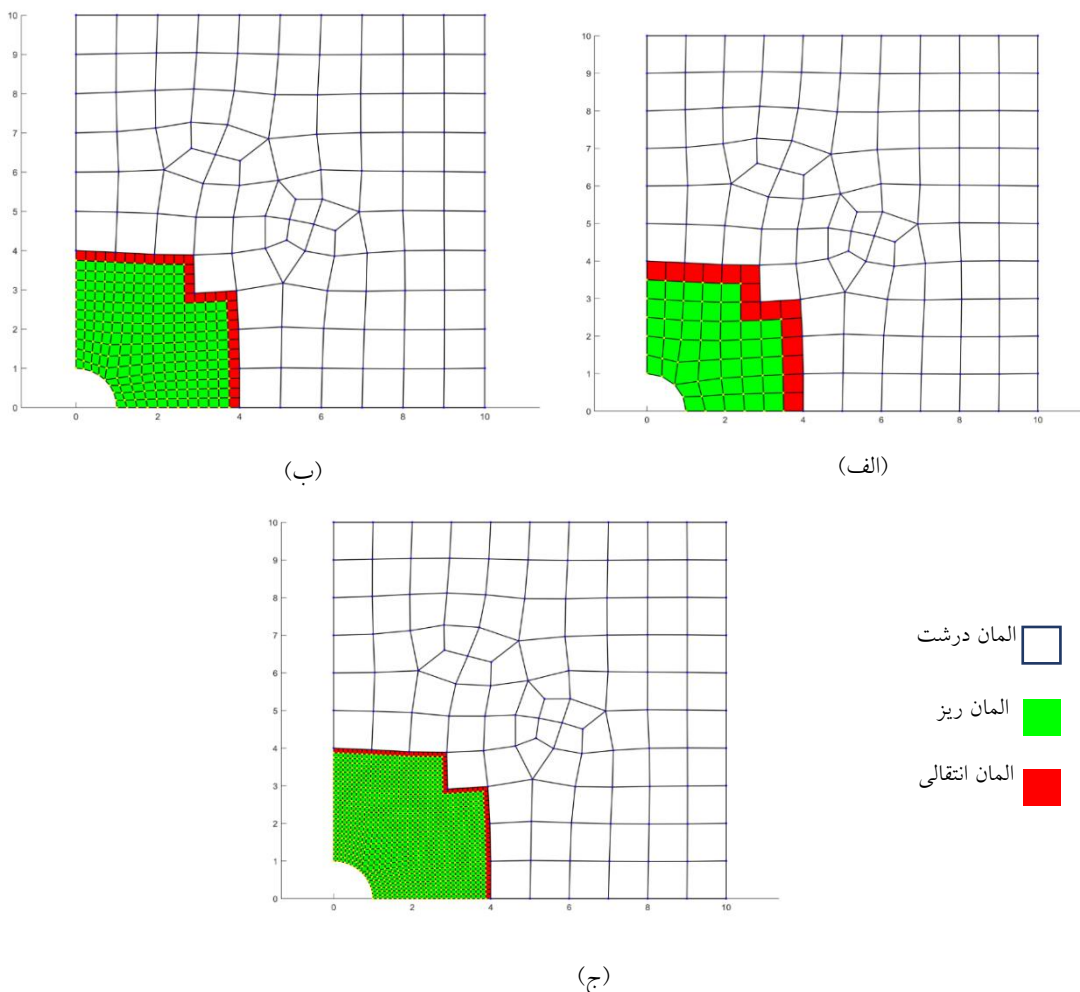
$$u_y = \frac{r_0^3 \bar{\sigma}}{2\mu} \left[ -\frac{\lambda + 6\mu}{2(9\lambda + 14\mu)} \frac{y}{r^3} + \frac{\lambda + \mu}{9\lambda + 14\mu} \right] \quad (43)$$

$$u_z = \frac{r_0^3 \bar{\sigma}}{2\mu} \left[ \frac{11\lambda + 26\mu}{2(9\lambda + 14\mu)} \frac{z}{r^3} + \frac{\lambda + \mu}{9\lambda + 14\mu} \right] \quad (44)$$

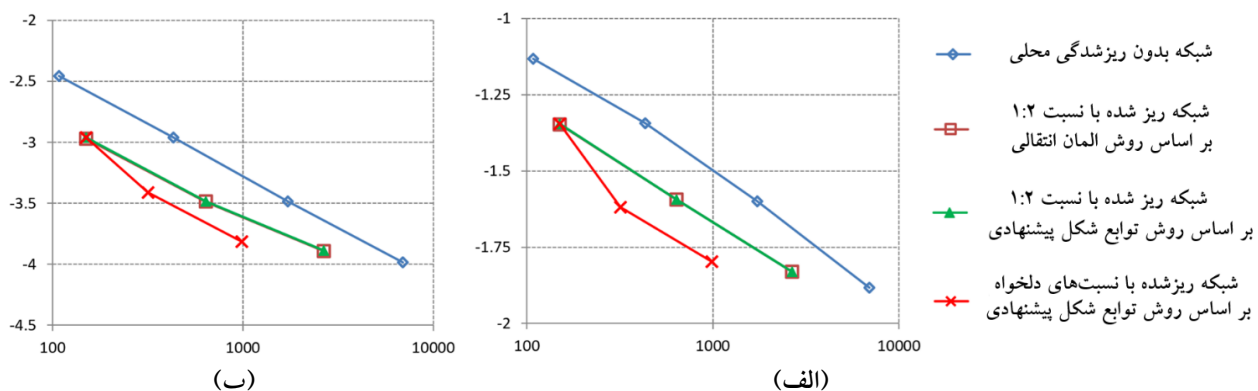
در این مثال سه بعدی - مکعب دارای حفره کروی شکل در این مثال محیطی سه بعدی به ابعاد  $10 \times 10 \times 10$  میلی‌متر با یک حفره‌ی کوچک کروی شکل به شعاع  $r_0 = 1$  تحت تنش کششی تک محوری در راستای  $z$  قرار گرفته است (شکل ۲۱). مدول الاستیسیته و ضریب پواسون محیط سه بعدی به ترتیب برابر با

## ۵- مثال سه بعدی - مکعب دارای حفره کروی شکل

در این مثال محیطی سه بعدی به ابعاد  $10 \times 10 \times 10$  میلی‌متر با یک حفره‌ی کوچک کروی شکل به شعاع  $r_0 = 1$  تحت تنش کششی تک محوری در راستای  $z$  قرار گرفته است (شکل ۲۱). مدول الاستیسیته و ضریب پواسون محیط سه بعدی به ترتیب برابر با



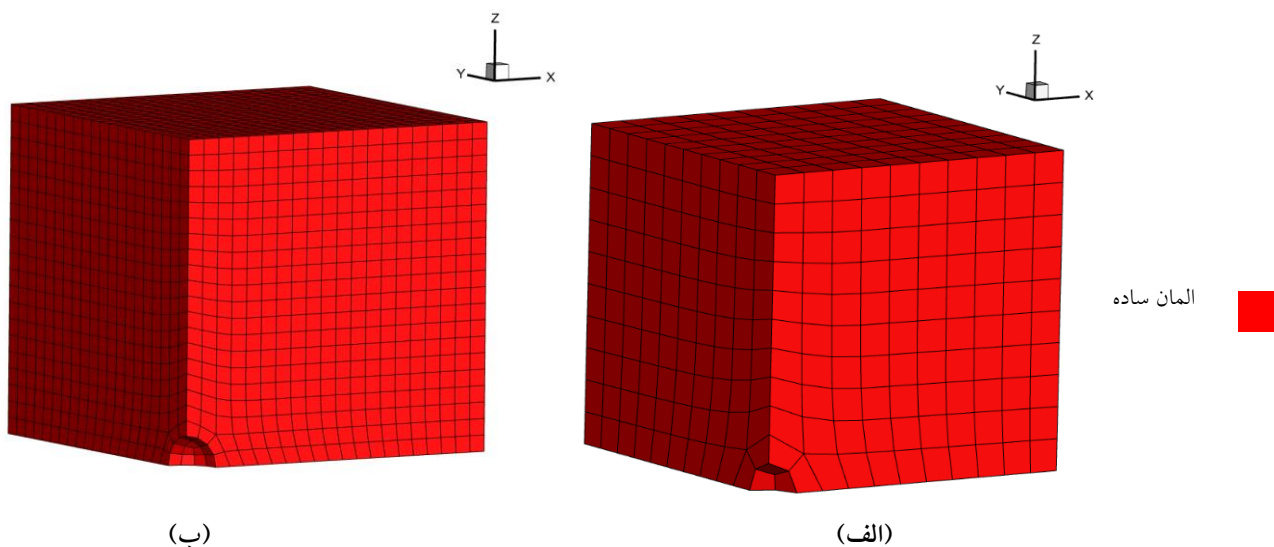
شکل ۱۹- شبکه‌بندی‌های متفاوت در حالت شبکه ریزشده با نسبت‌های دلخواه بر اساس روش توابع شکل پیشنهادی: (الف) ۱/۵ - ۰٪ - ۱ میلی‌متر،  
 (ب) ۰/۲۵ - ۰٪ - ۰/۵ میلی‌متر، (ج) ۰/۱۲۵ - ۰٪ - ۰/۲۵ میلی‌متر



شکل ۲۰- نمودارهای همگرایی بر حسب تعداد المان‌های شبکه برای مثال صفحه سوراخ‌دار: (الف) نرم خطای جایجا به ب) نرم خطای انرژی

جدول ۵- مقادیر خطای حالت شبکه بدون ریز شدگی محلی

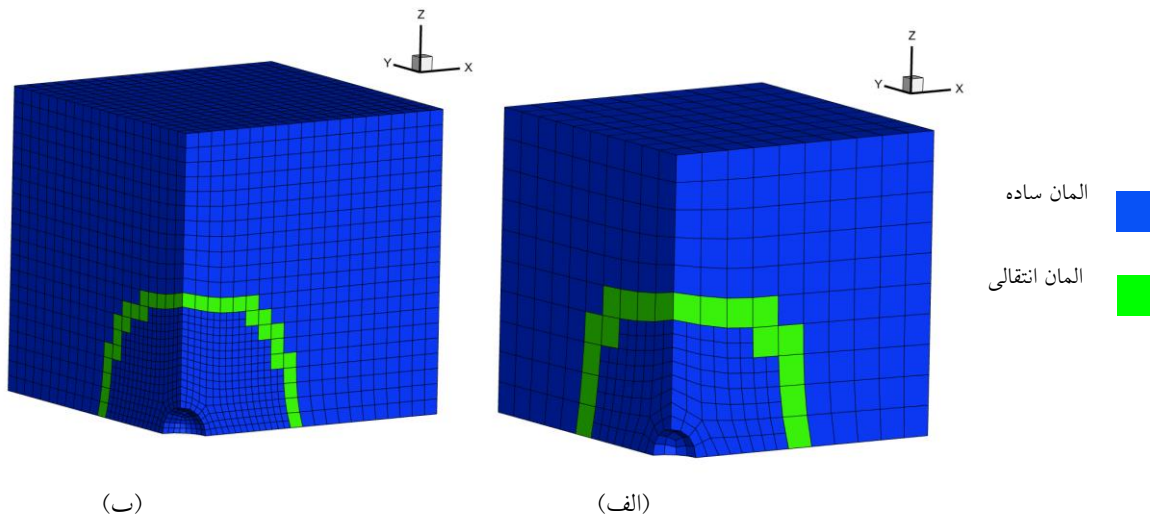
اندازه مشخصه المان ها	تعداد المان ها	$\log(Eu)$	$\log(Ee)$
۱	۱۰۰۲	-۳/۰۸۸۲۴	-۱/۷۸۴۵۹
۰/۵	۸۰۱۶	-۳/۶۲۷۱	-۲/۰۷۴۵۷
۰/۲۵	۶۴۱۲۸	-۴/۲۰۷۳	-۲/۳۷۴
۰/۱۲۵	۵۱۳۰۲۴	-۴/۷۹۲۴	-۲/۶۵۸۴



شکل ۲۱- شبکه بندهای متفاوت در حالت شبکه بدون ریز شدگی محلی با اندازه المان های: (الف) ۱ میلی متر، ب) ۰/۵ میلی متر

جدول ۶- مقادیر خطای حالت شبکه ریز شده با نسبت ۱:۲ بر اساس روش المان انتقالی

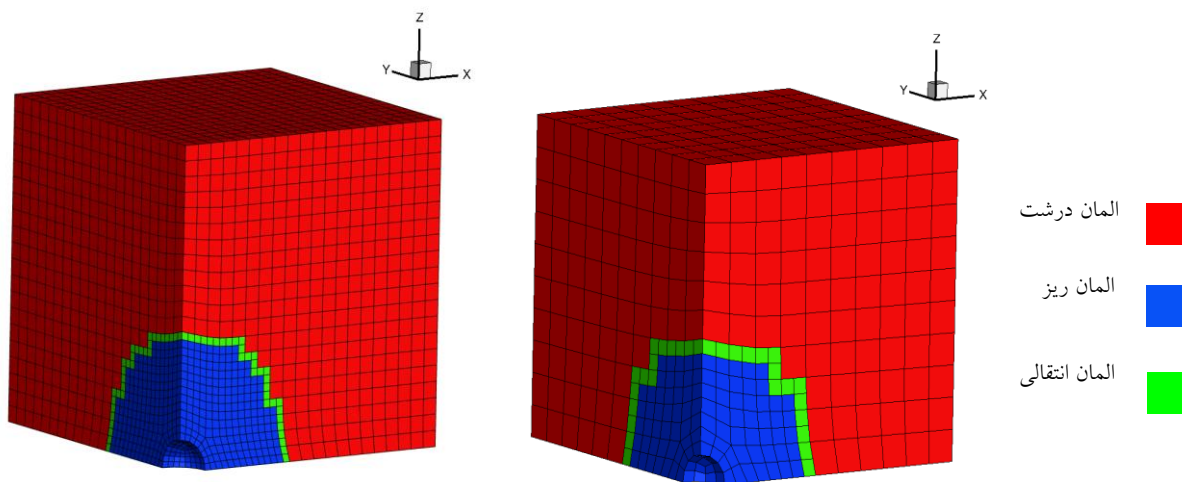
اندازه مشخصه المان ها در بخش شبکه درشت	اندازه مشخصه المان ها در بخش شبکه ریز شده	تعداد المان ها	$\log(Eu)$	$\log(Ee)$
۰/۵	۱	۱۳۳۱	-۳/۶۲۵۳۲	-۲/۰۷۴۱۲
۰/۲۵	۰/۵	۹۹۳۶	-۴/۱۴۱۹	-۲/۳۲۲۸
۰/۱۲۵	۰/۲۵	۸۹۲۴۵	-۴/۶۲۰۹	-۲/۵۴۵۷



شکل ۲۲- شبکه بندی های متفاوت در حالت شبکه ریز شده با نسبت ۱:۲ بر اساس روش المان انتقالی با اندازه المان های: الف)  $0/5$  میلی متر، ب)  $0/25$  میلی متر

جدول ۷- مقادیر خطای شبکه ریز شده با نسبت ۱:۲ بر اساس روش توابع پیشنهادی

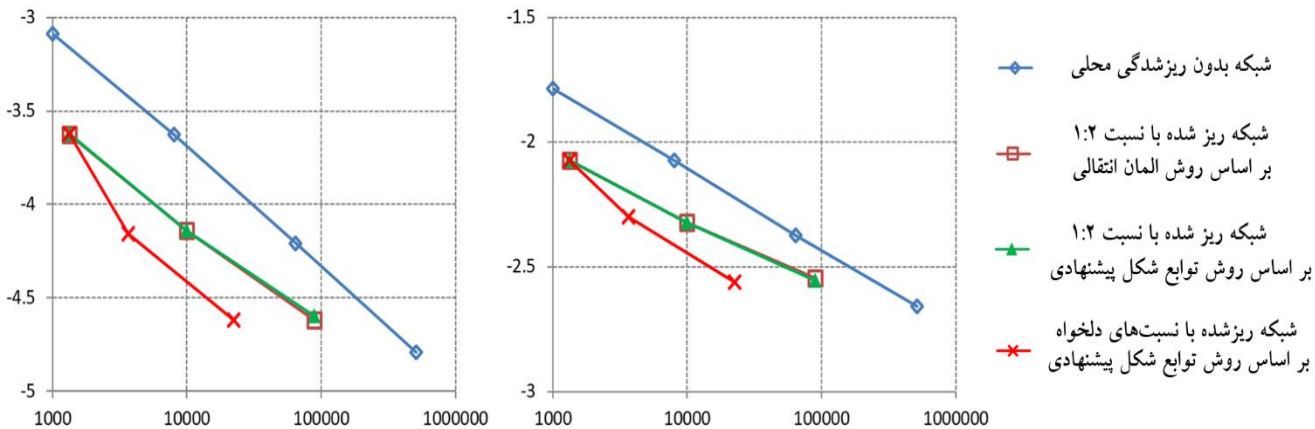
اندازه مشخصه المان ها در بخش شبکه درشت	اندازه مشخصه المان ها در بخش شبکه ریز شده	تعداد المان ها	$\log(Eu)$	$\log(Ee)$
$0/5$	$1$	۱۳۳۱	-۳/۶۲۱۷	-۲/۰۷۳۵۹
$0/25$	$0/5$	۹۹۳۶	-۴/۱۴۰۴	-۲/۳۲۲۵
$0/125$	$0/25$	۸۹۲۴۵	-۴/۵۹۶۲	-۲/۵۵۵۱



شکل ۲۳- شبکه بندی های متفاوت در حالت شبکه ریز شده با نسبت ۱:۲ بر اساس روش توابع پیشنهادی با اندازه المان های: الف)  $0/5$  میلی متر، ب)  $0/25$  میلی متر

جدول ۸- مقادیر خطای شبکه ریز شده با نسبت های دلخواه بر اساس روش توابع شکل پیشنهادی

تعداد المانها	اندازه مشخصه المانها در بخش شبکه درشت	اندازه مشخصه المانها در بخش شبکه ریز شده	$\log(Eu)$	$\log(Ee)$
۰/۵		۱	۱۳۳۱	-۳/۶۲۱۷
۰/۲۵		۱	۳۶۷۸	-۴/۱۵۶۷۱
۰/۱۲۵		۱	۲۲۴۵۲	-۴/۶۱۶۸۴



شکل ۲۴- نمودارهای همگرامی بر حسب تعداد المان‌های شبکه برای مثال مکعب دارای حفره کروی شکل: (الف) نرم خطای جابجایی (ب) نرم خطای انرژی

### ج) حالت شبکه محلی ریز شده با نسبت های مختلف (جدول ۸)

در شکل ۲۴ مقدار خطاهای جابجایی و انرژی در مثال محیط سه بعدی با حفره کروی شکل بر حسب تعداد المان‌های موجود در هر شبکه‌بندی ترسیم شده است. با توجه به این شکل مشاهده می‌شود که نمودارهای حاصل از روش‌های المان انتقالی و روش توابع شکل پیشنهادی حالت نسبت ۱:۲ برای بخش درشت و ریز شبکه، تقریباً بر هم منطبق هستند. روش توابع شکل پیشنهادی دارای این خاصیت می‌باشد که با یک الگوریتم واحد بدون نیاز به پیاده سازی کد جدید توابع شکل جدید را برای نسبت های مختلف اندازه شبکه ریز شده به اندازه شبکه درشت، تولید کند.

که در آن ها،  $\lambda$  و  $\mu$  ثوابت لامه می‌باشند. با توجه به وجود تقارن در این مساله، یک هشتم نمونه مدلسازی و برای شبکه‌بندی آن سه حالت پیاده‌سازی شده است: (۱) شبکه بدون ریز شدگی محلی، (۲) شبکه ریز شده با نسبت ۱:۲ و (۳) شبکه ریز شده با نسبت های دلخواه. تحلیل اجزای محدود در حالات مختلف و بر اساس روش‌های المان انتقالی و توابع شکل پیشنهادی انجام گرفته است و مقادیر نرم خطای جابجایی و نرم خطای انرژی طبق روابط ۴۰ و ۴۱ محاسبه شده‌اند. در ادامه نمودارها و مقادیر به دست آمده در هر حالت ارائه می‌شوند.

الف) حالت شبکه یکنواخت (جدول ۵ و شکل ۲۱)

ب) حالت شبکه محلی ریز شده با نسبت ۱:۲ (جدول ۶ و ۷ و شکل ۲۲ و ۲۳)

با حفظ خواص پیوستگی، تمامیت و تقسیم جزء واحد می‌تواند جایگزین توابع استاندارد اجزاء محدود شوند. هم چنین در مثال‌های حل شده نشان داده شد که نتایج حاصل از حل مسائل با کمک توابع پیشنهادی و توابع المان انتقالی در شرایط مشابه، تقریباً برابر بوده و علاوه بر آن در روش جدید با برطرف کردن محدودیت شرط ۱:۲ می‌توان با هزینه محاسباتی کمتر به نتایج دقیق‌تری نسبت به روش‌های قبلی رسید.

## ۶. نتیجه گیری

در این مقاله با ارائه توابع شکل پیشنهادی (بر مبنای توابع CPDI)، مشکل ناپیوستگی و منفی شدن توابع شکل در المان‌های انتقالی با گره‌های معلق که هنگام ریز کردن شبکه به صورت محلی در نقاط بحرانی به وجود می‌آیند، حل شده است. در روابط ارائه شده در بخش‌های قبل به صورت تحلیلی ثابت شد که این توابع پیشنهادی

## واژه‌نامه

1. Conformability
2. Transitional elements
3. Hanging nodes
4. Continuity
5. Partition of unity
6. Adaptive finite element methods
7. Adaptive local mesh refinement
8. Local mesh refinement with hanging nodes
9. Conformability
10. Constrained approximation
11. Transition element
12. Convected Particle Domain Interpolation
13. Parent
14. Completeness
15. Regular
16. Irregular
17. h-refinement
18. hierarchical
19. Convected Particle Domain Interpolation
20. Material Point Method
21. Finite Element Method

## منابع

1. Zienkiewicz, O. C., and Taylor, R. L., “*The Finite Element Method For Solid And Structural Mechanics*,” Elsevier, 2005.
2. Aksoylu B., Bond, S., and Holst, M., “An Odyssey Into Local Refinement And Multilevel Preconditioning Iii: Implementation And Numerical Experiments”, *SIAM Journal on Scientific Computing*, Vol. 25, No. 2, pp. 478-498, 2003.
3. Aksoylu, B., and Holst, M., “Optimality of Multilevel Preconditioners for Local Mesh Refinement in Three Dimensions”, *SIAM Journal on Numerical Analysis*, Vol. 44, No. 3, pp. 1005–1025, 2006.
4. Chen, H., Hoppe, R. H. W., and Xu, X., “Uniform Convergence Of Local Multigrid Methods For The Time-Harmonic Maxwell Equation”, *ESAIM: Mathematical Modelling and Numerical Analysis*, Vol. 47, No. 1, pp. 125–147, 2013.
5. Hannukainen, A., Korotov, S., and Křížek, M., “On Global and Local Mesh Refinements by a Generalized Conforming Bisection Algorithm,” *Journal of computational and applied mathematics*, Vol. 235, No. 2, pp. 419–436, 2010.
6. Fries, T. P., Byfut, A., Alizada, A., Cheng, K. W., and Schröder, A., “Hanging Nodes and XFEM”,

- International Journal for Numerical Methods in Engineering*, Vol. 86, No. 4–5, pp. 404–430, 2011.
7. Demkowicz, L., Oden, J. T., Rachowicz, W., and Hardy, O., “Toward a Universal h-p Adaptive Finite Element Strategy, Part 1. Constrained Approximation and Data Structure”, *Computer Methods in Applied Mechanics and Engineering*, Vol. 77, No. 1–2, pp. 79–112, 1989.
  8. Ainsworth, M., and Senior, B., “Aspects of an Adaptive Hp-Finite Element Method: Adaptive Strategy, Conforming Approximation And Efficient Solvers”, *Computer Methods in Applied Mechanics and Engineering*, Vol. 150, No. 1–4, pp. 65–87, 1997.
  9. Byfut, A., and Schröder, A., “Hp-Adaptive Extended Finite Element Method”, *International Journal for Numerical Methods in Engineering*, Vol. 89, No. 11, pp. 1392–1418, 2012.
  10. Kůš, P., “Automatic hp-Adaptivity on Meshes with Arbitrary-Level Hanging Nodes in 3D,” *Ph.D. Dissertation*, Charles University, Prague, 2011.
  11. Šolín, P., Červený, J., and Doležel, I., “Arbitrary-Level Hanging Nodes And Automatic Adaptivity in the hp-FEM,” *Mathematics and Computers in Simulation*, Vol. 77, No. 1, pp. 117–132, 2008.
  12. Jeong G. E., Song, Y. U., Youn, S. K., and Park, K. C., “A New Approach for Nonmatching Interface Construction by the Method Of Localized Lagrange Multipliers”, *Computer Methods in Applied Mechanics and Engineering*, Vol. 361, p. 112728, 2020.
  13. Muixí, A., Fernández-Méndez, S., and Rodríguez-Ferran, A., “Adaptive Refinement for Phase-Field Models of Brittle Fracture Based on Nitsche’s Method”, *Computational mechanics*, Vol. 66, No. 1, pp. 69–85, 2020.
  14. Gupta, A. K., “A Finite Element for Transition From A Fine to A Coarse Grid”, *International Journal for Numerical Methods in Engineering*, Vol. 12, No. 1, pp. 35–45, 1978.
  15. Tabarraei, A., and Sukumar, N., “Adaptive Computations on Conforming Quadtree Meshes”, *Finite Elements in Analysis and Design*, 2005, Vol. 41, No. 7–8, pp. 686–702.
  16. Baitsch, M., and Hartmann, D., “Piecewise Polynomial Shape Functions for Hp-Finite Element Methods”, *Computer Methods in Applied Mechanics and Engineering*, Vol. 198, No. 13–14, pp. 1126–1137, 2009.
  17. McDill, J. M., Goldak, J. A., Oddy, A. S., and Bibby, M. J., “Isoparametric Quadrilaterals and Hexahedrons for Mesh-Grading Algorithms”, *Communications in applied numerical methods*, Vol. 3, No. 2, pp. 155–163, 1987.
  18. Morton, D. J., Tyler, J. M., and Dorroh, J. R., “A New 3D Finite Element for Adaptive h-Refinement in 1-Irregular Meshes”, *International Journal for Numerical Methods in Engineering*, Vol. 38, No. 23, pp. 3989–4008, 1995.
  19. Lim, J. H., Sohn, D., and Im, S., “Variable-Node Element Families for Mesh Connection and Adaptive Mesh Computation”, *Structural Engineering and Mechanics*, Vol. 43, No. 3, pp. 349–370, 2012.
  20. Ling, D., Bu, L., Tu, F., Yang, Q., and Chen, Y., “A Finite Element Method with Mesh-Separation-Based Approximation Technique and Its Application in Modeling Crack Propagation with Adaptive Mesh Refinement”, *International Journal for Numerical Methods in Engineering*, Vol. 99, No. 7, pp. 487–521, 2014.
  21. Sadeghirad, A., Brannon, R. M., and Burghardt, J., “A Convected Particle Domain Interpolation Technique to Extend Applicability of the Material Point Method for Problems Involving Massive Deformations”, *International Journal for Numerical Methods in Engineering*, Vol. 86, No. 12, pp. 1435–1456, 2011.
  22. Sadeghirad, A., Brannon, R. M., and Guilkey, J. E., “Second-Order Convected Particle Domain Interpolation (CPDI2) with Enrichment for Weak Discontinuities at Material Interfaces”, *International Journal for Numerical Methods in Engineering*, Vol. 95, No. 11, pp. 928–952, 2013.

23. MATLAB Release 2019, MathWorks, Inc., Natick, Massachusetts, United States.
24. Tecplot 360 EX, Tecplot, Inc., Bellevue, WA, United States.
25. Timoshenko, S., and J. Goodier, “*Theory of Elasticity*”, McGraw-Hill, 1969.
26. Gronwall, T. H., “Elastic Stresses in an Infinite Solid with a Spherical Cavity”, *Annals of Mathematics*, Vol. 19, No. 4, p. 295, 1918.